

课程设计报告

课程名：面向对象程序设计

二级学院：计算机信息工程学院

班 级：23 软一

学 号：23030327

姓 名：许子祺

摘要

本研究深入探讨了人工智能（AI）^[1]技术的演进历程、当前发展前沿及其对全球社会与经济产生的深远影响。自 20 世纪中叶概念提出以来，人工智能经历了数次发展浪潮，尤其是在近年来，得益于计算能力的指数级提升、大数据资源的积累以及机器学习算法的创新，人工智能已取得了突破性的进展。本文首先回顾了人工智能从符号主义到连接主义的理论演变，并梳理了神经网络、支持向量机等关键技术的发展脉络。随后，本研究着重分析了当前人工智能领域的核心突破，包括以 Transformer 模型为代表的深度学习在自然语言处理和计算机视觉领域的广泛应用，生成式对抗网络（GANs）和扩散模型在内容创作中的革命性作用，以及强化学习在复杂决策和自动化控制方面的显著成效。

此外，本文详细探讨了人工智能在各个关键行业领域的具体应用，例如在医疗健康领域用于疾病诊断、药物研发和个性化治疗；在教育领域实现智能辅导和个性化学习路径；在金融领域优化风险管理与欺诈检测；以及在交通领域推动自动驾驶和智能物流的发展。在肯定人工智能巨大潜力的同时，本研究也客观分析了其带来的挑战，包括数据隐私与安全、算法偏见、就业结构变化、以及伦理道德与法律责任等复杂问题。最后，本文对人工智能的未来发展趋势进行了展望，预示了通用人工智能（AGI）的潜在方向、人机协作模式的深化以及人工智能在可持续发展目标中的作用。研究强调，在积极拥抱人工智能带来的机遇的同时，社会各界必须共同努力，制定健全的监管框架、推动跨学科研究、并加强公众教育，以确保人工智能技术能够负责任地、公平地、普惠地造福全人类，构建一个更加智能、高效和可持续的未来。

前言

在 21 世纪的今天，人工智能（Artificial Intelligence, AI）^[2]已经不再是科幻小说中的遥远设想，而是深刻融入我们日常生活、工作和社会的现实。从智能手机的语音助手到推荐系统，从自动驾驶汽车的研发到医疗诊断的辅助，人工智能正以惊人的速度和广度改变着世界的面貌。其影响力之深远，已经使其成为当前科技领域乃至全社会最为关注的焦点之一。

人工智能的崛起并非一蹴而就。它凝聚了数十年计算机科学、数学、统计学、神经科学、心理学以及哲学等多个学科的智慧结晶。特别是近年来，随着大数据、云计算、高性能计算硬件的飞速发展，以及机器学习，尤其是深度学习理论和算法的突破，人工智能的研究和应用进入了一个前所未有的黄金时代。新技术如生成式 AI、强化学习等层出不穷，不断拓展着机器智能的边界，并展现出前所未有的能力，例如创作艺术作品、撰写文本、甚至在复杂博弈中击败人类顶尖选手。

然而，伴随着人工智能的蓬勃发展，一系列前所未有的机遇与挑战也随之而来。人工智能不仅预示着生产力的大幅提升和生活质量的改善，也引发了关于就业结构变迁、数据隐私、算法偏见、伦理道德以及人工智能安全等方面的深刻讨论。如何平衡技术创新与社会责任，确保人工智能的发展能够真正造福人类社会，而非加剧现有问题，已成为全球各国政府、企业、学术界乃至普通民众共同面临的重大课题。

本论文旨在全面审视人工智能的发展历程、核心技术、在各领域的应用现状以及未来趋势。我们将深入分析人工智能所带来的机遇与挑战，并探讨在推动技术进步的同时，如何构建一个负责任、可持续且普惠的人工智能生态系统。期望通过本文的研究，能够为读者提供一个对人工智能当前全貌及其未来走向的深刻理解，并为相关政策制定和技术研发提供有益的参考。

目录

第一章 人工智能的基础与历史演进	1
1.1 引言	1
1.2 核心概念与定义	1
1.2.1 人工智能的定义	1
1.2.2 强人工智能与弱人工智能	2
1.2.3 机器学习与深度学习概述	3
1.3 哲学思辨与早期探索	6
1.3.1 图灵测试与机器智能的界定	6
1.3.2 达特茅斯会议与人工智能的诞生	7
1.3.3 早期 AI 研究范式	7
1.4 AI 的发展阶段与“寒冬”	8
1.4.1 第一次 AI 寒冬（约 1974-1980 年）	8
1.4.2 第二次 AI 寒冬（约 1987-1993 年）	8
1.4.3 AI 的复兴与深度学习的爆发	9
1.5 总结	9
第二章 现代人工智能的关键技术与突破	11
2.1 引言	11
2.2 机器学习范式	11
2.2.1 监督学习	11
2.2.2 无监督学习	15
2.2.3 强化学习	15
2.3 深度学习的崛起与应用	16
2.3.1 卷积神经网络（CNN）与计算机视觉	17
2.3.2 循环神经网络（RNN）与长短期记忆网络（LSTM）	17
2.3.3 Transformer 架构与自注意力机制	21
2.4 生成式人工智能（Generative AI）	25
2.5 大型语言模型（LLMs）的兴起	32

2.6 其他新兴技术	35
2.7 总结	36
参考文献	37

第一章 人工智能的基础与历史演进

1.1 引言

人工智能（Artificial Intelligence, AI）作为一门旨在研究、开发和应用能够模拟、延伸乃至超越人类智能的理论、方法、技术及应用系统的交叉学科，已成为引领新一轮科技革命和产业变革的核心驱动力。其研究领域不仅涵盖了从问题解决、知识推理到感知、学习和语言理解等传统智能行为的模拟，更拓展至自主决策、模式识别和创造性任务等前沿领域。本章旨在系统性地追溯人工智能的哲学起源与理论基础，阐述其核心概念体系，并深度剖析其在半个多世纪发展历程中的关键转折点、重大范式转移以及周期性的“寒冬”与复兴。通过对历史脉络的梳理，本章将为读者全面理解现代人工智能，特别是以深度学习为代表的技术浪潮，奠定坚实的理论与认知基础。

1.2 核心概念与定义

1.2.1 人工智能的定义

人工智能的定义随着时代和技术发展而不断演变，至今未有完全统一的定论。一个广为接受的定义来自于 Russell 和 Norvig 的权威著作《人工智能：一种现代方法》，该书从思想和行为两个维度，以及与人类和理性的对比，将 AI 的定义分为了四个流派：

- **像人一样思考（Thinking Humanly）**: 这一流派致力于通过认知建模来模拟人类的思维过程。其核心是探究人类心智的内在机制，并用计算机程序来复现。
- **像人一样行动（Acting Humanly）**: 该流派关注系统外部行为的表现，以著名的“图灵测试”为代表，即如果机器的行为表现与人类无法区分，则可认为其具备智能。
- **理性地思考（Thinking Rationally）**: 该流派追求构建基于逻辑法则的推理系统。它根植于数理逻辑，旨在通过形式化推理得出正确结论，其代表是“逻辑主义”方法。

- **理性地行动 (Acting Rationally)**: 该流派关注于构建能够实现最优结果的“智能体”(Agent)。一个理性的智能体应在给定信息和环境下，采取能最大化其期望效用的行动。

一个理性的智能体在选择行动时，会遵循期望效用最大化原则。若智能体当前处于状态 s ，可选择的行动集合为 A ，采取行动 $a \in A$ 后可能转移到新状态 s' 的概率为 $P(s'|s, a)$ ，且新状态的效用为 $U(s')$ ，则最优行动 a^* 的选择可以表示为：

$$a^* = \arg \max_{a \in A} \sum_{s'} P(s'|s, a)U(s')$$

这个公式定义了理性智能体如何在不确定的结果中做出最优决策。

在当前的工程实践和学术研究中，**理性地行动**已成为主流范式。它不仅包含了逻辑推理，也容纳了在不确定性下做出最优决策的能力，更具普适性和可度量性。

1.2.2 强人工智能与弱人工智能

在人工智能理论中，根据其智能水平和通用性，通常将 AI 分为强人工智能和弱人工智能：

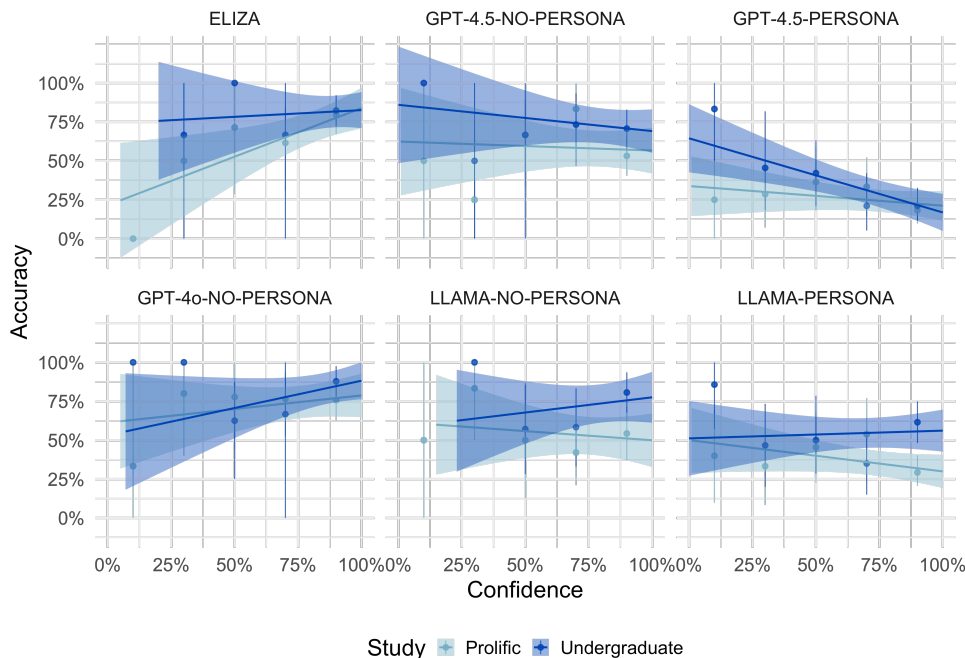


图 1.1: 强人工智能与弱人工智能的区别示意图

- **弱人工智能 (Weak AI / Narrow AI)**: 指的是专注于执行单一或有限领域特定任务的 AI 系统。例如，AlphaGo 虽然在围棋上超越了人类顶尖棋手，但它无法执

行如驾驶汽车或诊断疾病等其他任务。当前我们所看到并广泛应用的 AI 技术，如语音助手、推荐系统和人脸识别，绝大多数都属于弱人工智能范畴。

- **强人工智能（Strong AI / Artificial General Intelligence, AGI）：**指的是拥有与人类智能相当甚至超越人类智能的通用 AI 系统。理论上，一个 AGI 系统能够理解、学习并执行任何人类能够完成的智力任务，并具备自我意识、情感和抽象思维能力。强人工智能是 AI 研究的终极目标之一，但目前在理论和技术上仍面临巨大挑战，处于理论探索阶段。

1.2.3 机器学习与深度学习概述

机器学习（Machine Learning, ML）^[3]是实现人工智能的核心途径，其本质是让计算机通过分析数据来自动学习和改进，而非依赖于人类编写的显式规则。其核心思想是构建一个数学模型，该模型能够从训练数据中学习到潜在的模式或规律，并利用这些规律对新的、未知的数据进行预测或决策。根据学习方式的不同，机器学习主要分为以下几类：

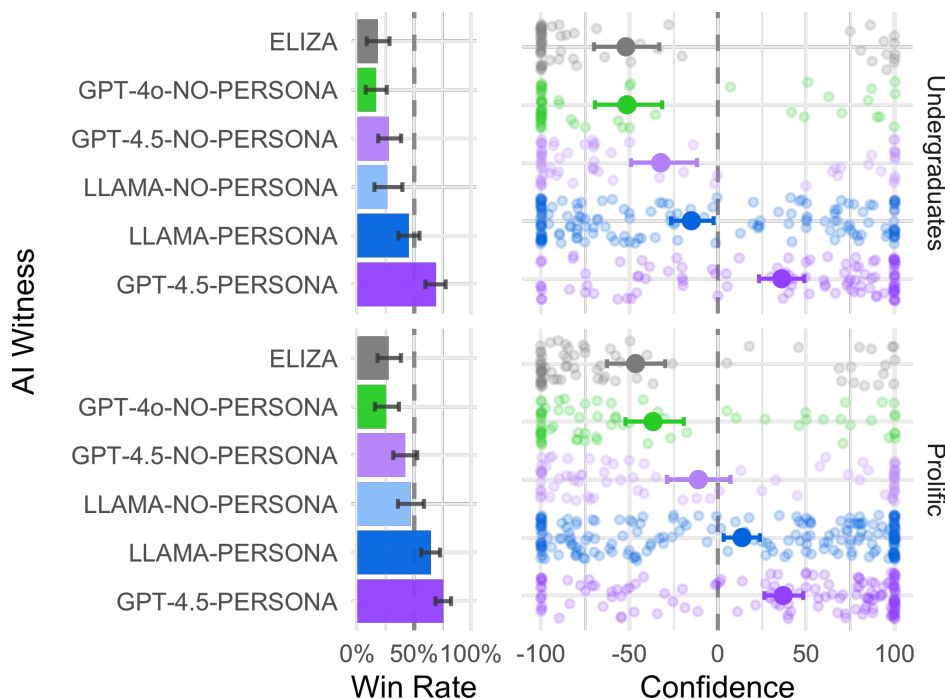


图 1.2: 机器学习的主要类型示意图

- **监督学习（Supervised Learning）：**^[4] 模型从带有“正确答案”（即标签）的数据中学习。例如，在图像分类任务中，模型学习大量已标记为“猫”或“狗”的图片，最终学会识别新的图片。在数学上，给定一个包含 N 个样本的训练数据集 $D = \{(x_1, y_1), (x_2, y_2), \dots, (x_N, y_N)\}$ ，其中 x_i 是输入特征， y_i 是对应的标签。监督

学习的目标是学习一个从输入到输出的映射函数 h_θ , 该函数由参数 θ 决定, 旨在最小化一个损失函数 L , 即:

$$\theta^* = \arg \min_{\theta} \frac{1}{N} \sum_{i=1}^N L(h_\theta(x_i), y_i)$$

其中 L 用来度量预测值 $h_\theta(x_i)$ 和真实值 y_i 之间的差异。

- **无监督学习 (Unsupervised Learning):**^[5] 模型处理没有标签的数据, 并尝试发现数据内部的结构或模式。例如, 在市场分析中, 无监督学习可用于自动将客户划分为不同的群体。
- **强化学习 (Reinforcement Learning):**^[6] 模型通过与环境的交互来学习。智能体 (Agent) 在环境中采取行动, 并根据行动结果获得奖励或惩罚, 其目标是学习一个能最大化长期累积奖励的策略。AlphaGo 的成功就是强化学习的经典案例。在强化学习中, 智能体的目标是学习一个策略 (policy) π , 该策略指导智能体在每个状态 s_t 选择能最大化未来累积奖励的行动 a_t 。在时间步 t 的未来折扣累积奖励 (或称为“回报” G_t) 定义为:

$$G_t = R_{t+1} + \gamma R_{t+2} + \gamma^2 R_{t+3} + \dots = \sum_{k=0}^{\infty} \gamma^k R_{t+k+1}$$

其中 R_{t+k+1} 是在未来第 k 步获得的奖励, $\gamma \in [0, 1]$ 是折扣因子, 用于平衡即时奖励和未来奖励的重要性。智能体的最终目标是找到最优策略 π^* , 以最大化该回报的期望值。

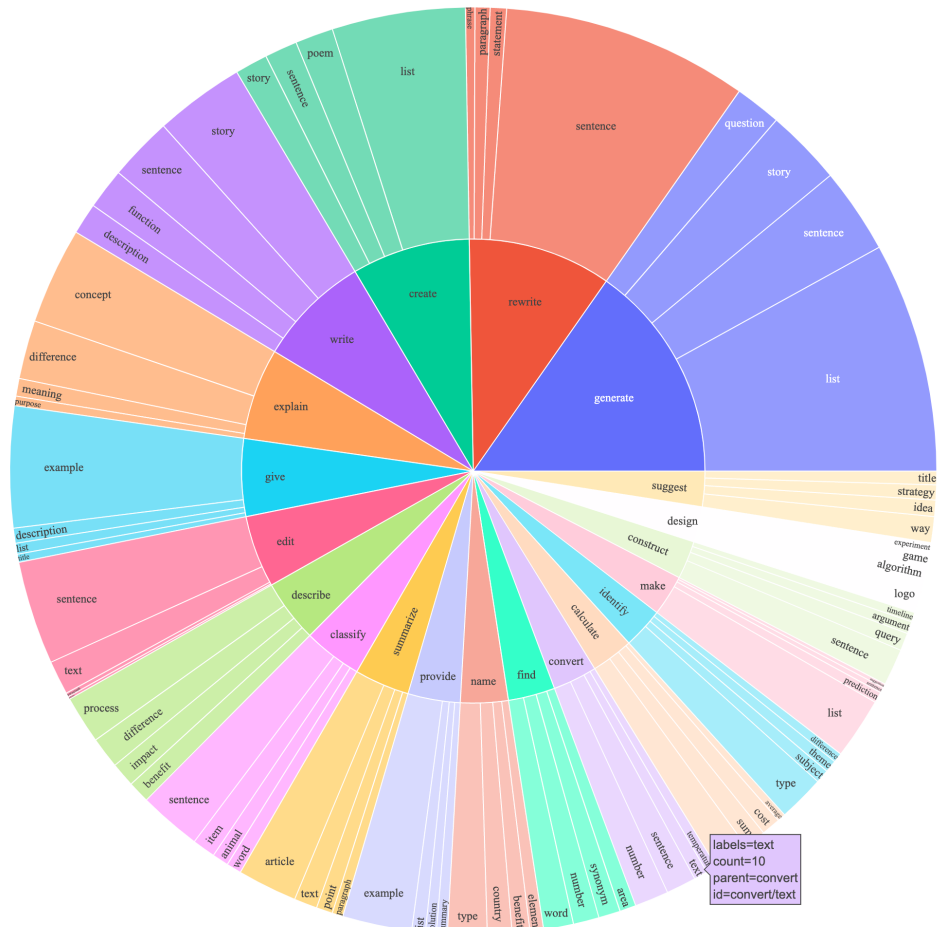


图 1.3: 机器学习的主要类型示意图

深度学习（Deep Learning, DL）^[7]是机器学习的一个强大分支，其核心是使用深度人工神经网络（Deep Neural Networks, DNNs）。“深度”通常指神经网络包含多个隐藏层。这种多层结构赋予了模型强大的特征学习能力：网络中的每一层可以对前一层输出的特征进行组合，从而学习到从低级到高级的、层层递进的特征表示（Feature Hierarchy）。例如，在图像识别中，第一层可能学习到边缘和颜色等基本特征，中间层可能学习到眼睛、鼻子等组合特征，而更高层则能识别出整张人脸。正是这种自动学习复杂特征的能力，使深度学习在图像识别、语音识别和自然语言处理等领域取得了前所未有的突破性进展，成为推动当前 AI 发展的核心引擎。一个包含 L 层的深度神经网络可以被看作是一个复合函数。对于输入 X ，其最终输出 Y_{pred} 的计算过程可以表示为：

$$Y_{pred} = f(X) = f_L(\dots f_2(f_1(X; \theta_1)); \dots; \theta_L)$$

其中， f_l 代表第 l 层的运算，通常由一个线性变换和一个非线性激活函数 σ 组成，即 $f_l(z; \theta_l) = \sigma(W_l z + b_l)$ ， $\theta_l = \{W_l, b_l\}$ 是该层的权重和偏置参数。这种层级结构使得网络能够自动学习从简单到复杂的数据特征。

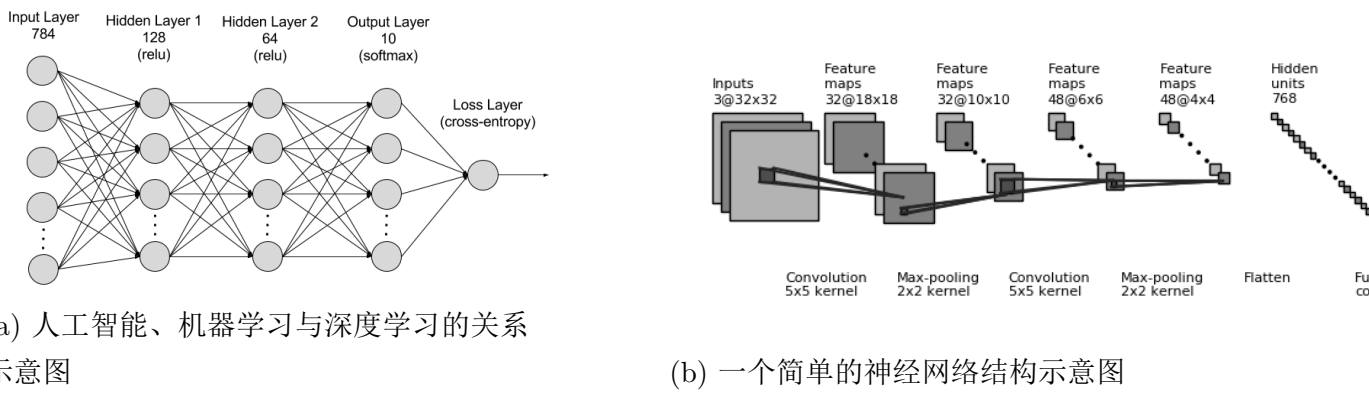


图 1.4: 人工智能、机器学习与深度学习的层级关系及神经网络结构

1.3 哲学思辨与早期探索

1.3.1 图灵测试与机器智能的界定

1950 年，英国数学家、计算机科学的先驱阿兰·图灵（Alan Turing）在其划时代的论文《计算机器与智能》中，回避了“机器能否思考？”这一抽象的哲学问题，转而提出了一个可操作的“模仿游戏”，即后来的图灵测试（Turing Test）。该测试旨在通过一个行为主义的视角来检验机器是否能够展现出与人类无法区分的智能行为。在测试中，一位人类评审员通过纯文本界面同时与一位人类和一台机器进行交流。如果在持续的对话后，评审员无法可靠地分辨出哪个对话方是机器，那么这台机器就被认为通过了图灵测试。图灵测试为机器智能的评估提供了一个清晰、客观的操作性定义，虽然后续引发了诸多哲学上的争论（如“中文房间”思想实验），但其对早期人工智能研究的范式塑造和目标设定产生了深远影响。

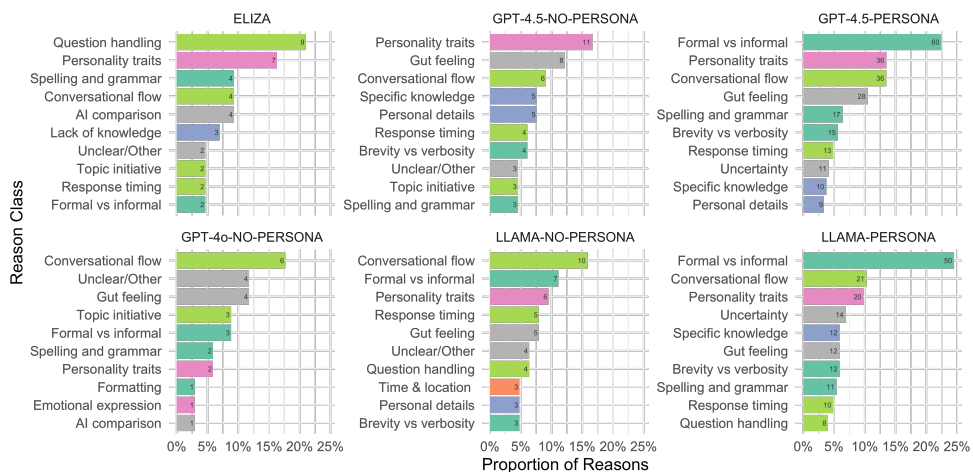


图 1.5: 图灵测试示意图

1.3.2 达特茅斯会议与人工智能的诞生

1956年夏季，约翰·麦卡锡（John McCarthy）、马文·明斯基（Marvin Minsky）、克劳德·香农（Claude Shannon）和纳撒尼尔·罗切斯特（Nathaniel Rochester）等十位年轻学者在美国达特茅斯学院组织了一场为期两个月的学术研讨会。这次会议被普遍认为是“人工智能”这一学科正式诞生的标志。在为会议撰写的申请书中，麦卡锡首次创造了“Artificial Intelligence”一词。会议的目标宏大，旨在探索“学习的各个方面或智能的任何其他特征原则上都可以被精确描述，从而可以用机器来模拟它”。这次会议不仅确立了AI作为一个独立研究领域，还提出了许多至今仍被视为核心的基本问题，如自动推理、知识表示、自然语言处理和神经网络等，为未来数十年的研究议程奠定了基础。



图 1.6: 达特茅斯会议的主要参与者

1.3.3 早期 AI 研究范式

达特茅斯会议之后，人工智能研究逐渐分化为两条主要的技术路线和哲学思想，即符号主义和连接主义。

- **符号主义（Symbolism）**:^[8] 也称逻辑主义或“整洁派”（Neats），其核心信念是：智能源于对符号的操作和逻辑推理。该范式认为，人类的认知过程本质上是一种符号处理过程，因此可以通过构建基于形式化逻辑和规则的系统来复现智能。这一思想主导了AI研究的前三十年，其代表性成果是专家系统（Expert Systems），例如在医学诊断（如MYCIN）和地质勘探等领域取得了显著的商业成功。然而，

符号主义的“知识瓶颈”问题——即如何获取和编码海量、复杂的现实世界知识——最终限制了其发展。

- **连接主义（Connectionism）**:^[9] 也称“邋遢派”（Scruffies），其灵感直接来源于生物大脑的神经网络结构。该范式认为，智能是从大量简单的、相互连接的处理单元（即人工神经元）的集体行为中“涌现”出来的，而非源于预设的符号规则。早期的感知机（Perceptron）是神经网络的基本组成单元，它接收多个输入信号 x_i ，并通过一组权重 w_i 进行加权求和，再加上一个偏置 b 。其输出 y 由一个阶跃函数（step function）决定：

$$y = f\left(\sum_{i=1}^n w_i x_i + b\right) \quad \text{其中} \quad f(z) = \begin{cases} 1 & \text{if } z > 0 \\ 0 & \text{otherwise} \end{cases}$$

感知机模型为更复杂的神经网络奠定了基础。模型是连接主义的代表，但由于理论和计算能力的限制（特别是无法解决“异或”问题），连接主义在 20 世纪 70 年代后陷入了低谷，直到 80 年代中期反向传播算法的重新发现才得以复兴。

这两种范式在知识表示上存在根本差异：符号主义依赖于显式的、人类可理解的知识表达；而连接主义则通过网络连接的权重来隐式地学习和存储知识。

1.4 AI 的发展阶段与“寒冬”

1.4.1 第一次 AI 寒冬（约 1974-1980 年）

20 世纪 70 年代中期，早期 AI 研究的乐观主义情绪遭遇了现实的严峻挑战。一方面，研究者在机器翻译等复杂任务上做出的过度承诺未能兑现；另一方面，面对组合爆炸问题，当时的计算能力和算法理论均显不足。标志性事件包括 1966 年美国自动语言处理咨询委员会（ALPAC）报告对机器翻译项目的悲观评估，以及 1973 年英国 Lighthill 报告对整个 AI 领域的严厉批评。这些事件直接导致了政府研究资助的大幅削减（尤其是美国的 DARPA），研究者和资助机构的信心受到重创，AI 领域进入了第一个被称为“寒冬”的低潮期。

1.4.2 第二次 AI 寒冬（约 1987-1993 年）

在 80 年代，随着基于规则的专家系统（Expert Systems）^[10]的商业成功，AI 迎来了第一次短暂的复苏。然而，这些系统的局限性也逐渐暴露：它们的知识库构建和维护成本极其高昂、难以扩展、缺乏常识且无法处理不确定性。当企业发现维护这些专用系统的费用远超其带来的效益时，商业泡沫随之破裂。同时，个人电脑的兴起使得专门用于运

行 AI 程序（如 LISP 语言）的昂贵硬件设备市场崩溃。这些因素共同导致了 AI 领域的第二次资金紧缩和信心危机，即第二次“AI 寒冬”。

1.4.3 AI 的复兴与深度学习的爆发

进入 21 世纪，特别是 2010 年以后，人工智能迎来了前所未有的复兴和爆发式增长。这并非偶然，而是由以下几个关键因素在“量变到质变”的临界点上协同作用的结果：

- **海量数据 (Big Data)**：互联网、移动设备和物联网的普及产生了前所未有的海量数据。像 ImageNet 这样包含超过 1400 万张手工标注图片的大规模数据集，为深度神经网络的训练提供了充足且高质量的“养料”，使其能够学习到过去无法企及的复杂模式。
- **硬件算力 (Computing Power)**：摩尔定律的持续生效，特别是图形处理器 (GPU) 在通用计算领域的应用 (GPGPU)，为 AI 研究带来了革命性的变化。GPU 高度并行的体系结构天然契合深度学习中的大规模矩阵和张量运算，使得过去需要数周甚至数月的训练时间缩短到几天或几小时，极大地加速了算法的迭代和优化。
- **核心算法 (Algorithm Innovation)**:^[11] 深度学习算法本身也取得了关键性突破。2006 年，Hinton 等人提出的深度信念网络 (DBN) 和无监督预训练方法，有效解决了深度网络训练中的梯度消失问题。随后，诸如修正线性单元 (ReLU) 激活函数、Dropout 正则化技术和批量归一化 (Batch Normalization) 等一系列创新，进一步简化和稳定了深度网络的训练过程。2012 年，AlexNet 模型在 ImageNet 图像识别挑战赛中以远超第二名的巨大优势夺冠，其成功标志着深度学习时代的正式开启。

这些因素形成了一个正向反馈循环：更强的算力支持更复杂的模型，更复杂的模型能从更大的数据集中学习，从而取得更好的效果，进而吸引更多的投入和研究，推动人工智能从实验室走向了广泛的工业和商业应用。

1.5 总结

本章系统性地回顾了人工智能从其哲学思辨的萌芽，到 1956 年达特茅斯会议上的正式诞生，历经两次因期望过高与现实局限而导致的“寒冬”，再到由数据、算力和算法共同驱动的深度学习复兴的完整历程。我们探讨了 AI 的四种核心定义范式，明确了强弱 AI 的本质区别，并阐明了机器学习与深度学习作为当前 AI 主流范式的层级关系与核心思想。早期符号主义与连接主义的对立与融合，为我们理解 AI 的不同技术路径提供了历史视角。

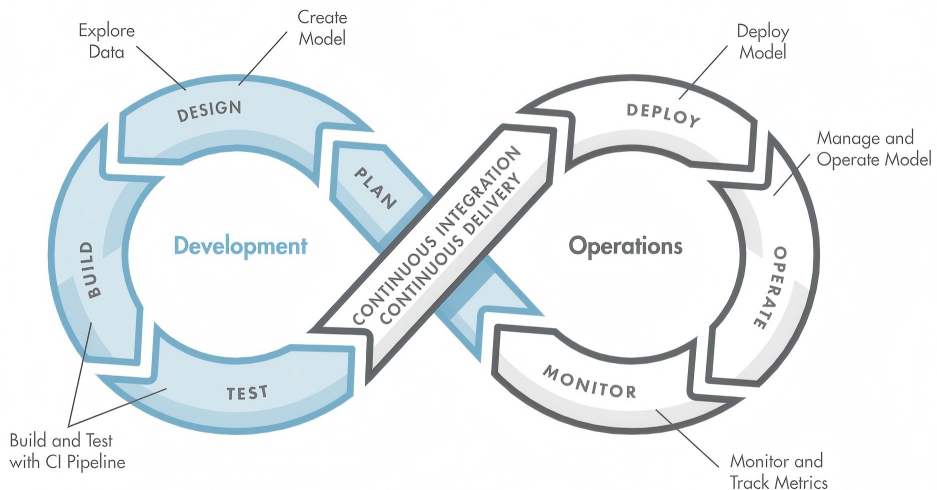


图 1.7: 人工智能发展历程的关键节点与范式演进

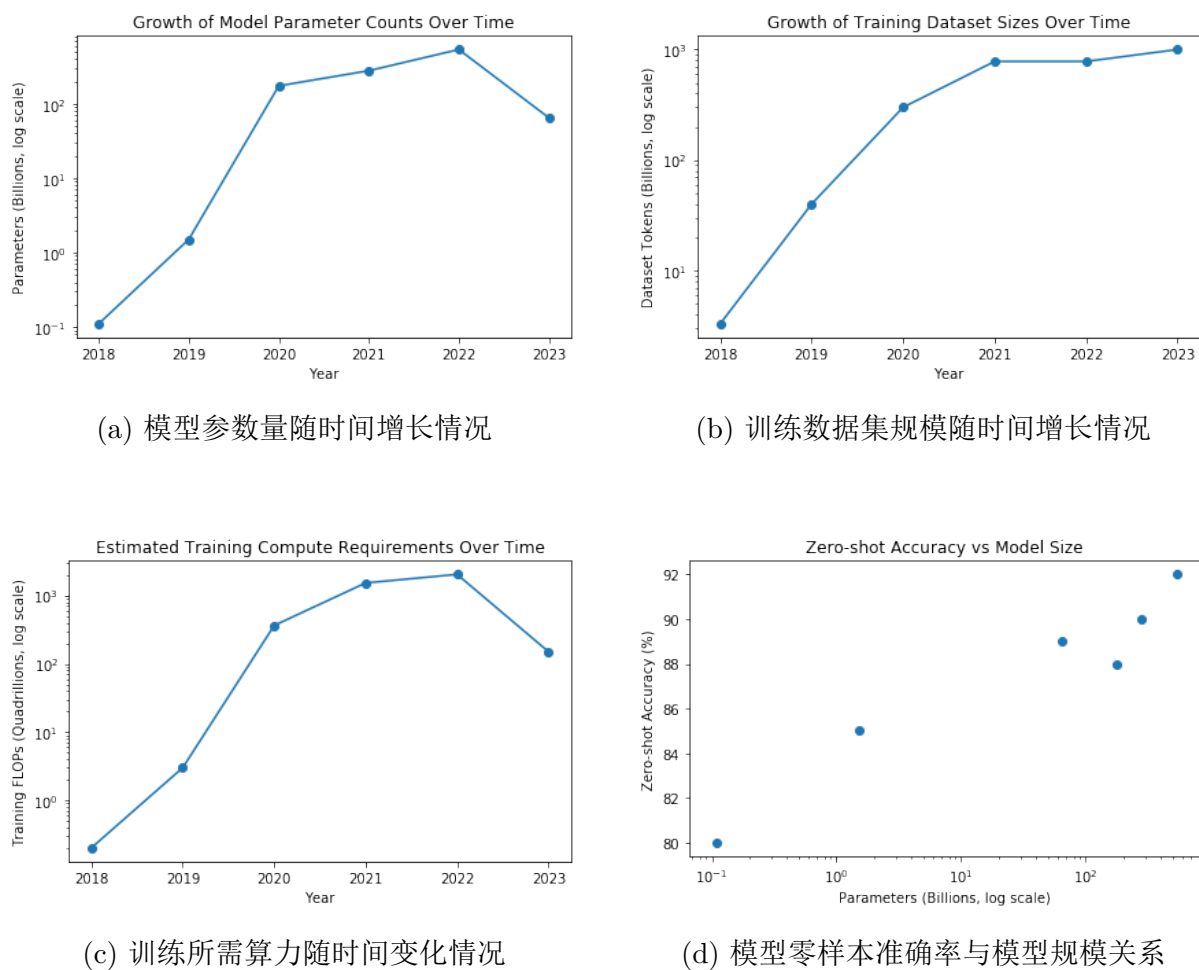


图 1.8: 驱动现代大型语言模型发展的关键要素量化趋势

第二章 现代人工智能的关键技术与突破

2.1 引言

进入 21 世纪，人工智能领域迎来了前所未有的发展浪潮，其核心驱动力源于一系列关键技术的革命性突破。本章将聚焦于这些塑造了现代人工智能面貌的核心技术，从机器学习的经典范式，到深度学习的崛起，再到生成式 AI 和大语言模型的兴盛。我们将深入探讨这些技术的内在原理、典型算法、重大应用及其带来的深刻影响，旨在为读者构建一个关于现代 AI 技术全景的清晰认知框架。

2.2 机器学习范式

机器学习作为实现人工智能的核心方法论，在现代 AI 技术体系中占据着基石地位^[12]。它使计算机能够从数据中自动学习规律和模式，而非依赖于显式编程。根据学习任务和数据类型的不同，机器学习主要可以分为监督学习、无监督学习和强化学习三大范式。

2.2.1 监督学习

监督学习是目前应用最广泛的机器学习范式，其核心思想是从带有明确标签的训练数据中学习一个映射函数，从而对新的、未知的数据进行预测^[13]。

- **分类 (Classification):** 分类任务的目标是预测数据样本所属的离散类别。例如，在垃圾邮件检测中，模型需要判断一封邮件是“垃圾邮件”还是“非垃圾邮件”。其核心是学习一个决策边界，将不同类别的数据点在特征空间中分离开。典型的分类算法包括：
 - **支持向量机 (Support Vector Machine, SVM):** SVM 的核心思想是在特征空间中寻找一个能最大化不同类别样本之间间隔 (Margin) 的超平面作为决策边界。对于线性不可分的数据，SVM 通过“核技巧”(Kernel Trick) 将数据映射到更高维的空间，使其线性可分。

- **决策树 (Decision Tree)**: 决策树通过一系列基于特征的“是/否”问题来对数据进行划分，最终形成一个树状的决策结构。每个内部节点代表一个特征测试，每个分支代表一个测试结果，而每个叶节点 x 则代表一个类别标签。

为了在实验中定量评估分类模型的性能，我们通常使用混淆矩阵（Confusion Matrix）衍生的几个核心指标，而不仅仅是简单的准确率（Accuracy）。特别是在处理数据不平衡的分类问题时，以下指标尤为重要：

- **精确率 (Precision)**: 衡量所有被模型预测为正类的样本中，有多少是真正的正类。高精确率表示模型预测的正类比较“准”。

$$\text{Precision} = \frac{TP}{TP + FP}$$

- **召回率 (Recall)**: 衡量所有真实的正类样本中，有多少被模型成功地预测为正类。高召回率表示模型能把正类“找得全”。

$$\text{Recall} = \frac{TP}{TP + FN}$$

- **F1 分数 (F1-Score)**: 精确率和召回率的调和平均数，是两者的综合考量。

$$F_1 = 2 \cdot \frac{\text{Precision} \cdot \text{Recall}}{\text{Precision} + \text{Recall}}$$

其中，TP (True Positives) 是真正例，FP (False Positives) 是假正例，FN (False Negatives) 是假反例。在实验结论中，通过分析这些指标，可以更全面地了解模型在不同方面的表现。

案例研究：手写数字识别分类

手写数字识别（如 MNIST 数据集）是分类任务的一个经典案例。在该任务中，模型需要将输入的 28x28 像素的灰度图像识别为其对应的数字（0-9）。

1. 数据探索 在训练模型之前，首先需要了解数据的基本情况。例如，通过可视化分析训练集中各个数字的分布是否均衡（如图 2.1a），以及查看单个数据样本的形态（如图 2.1b），这有助于我们判断是否需要进行数据增强或特定的预处理。

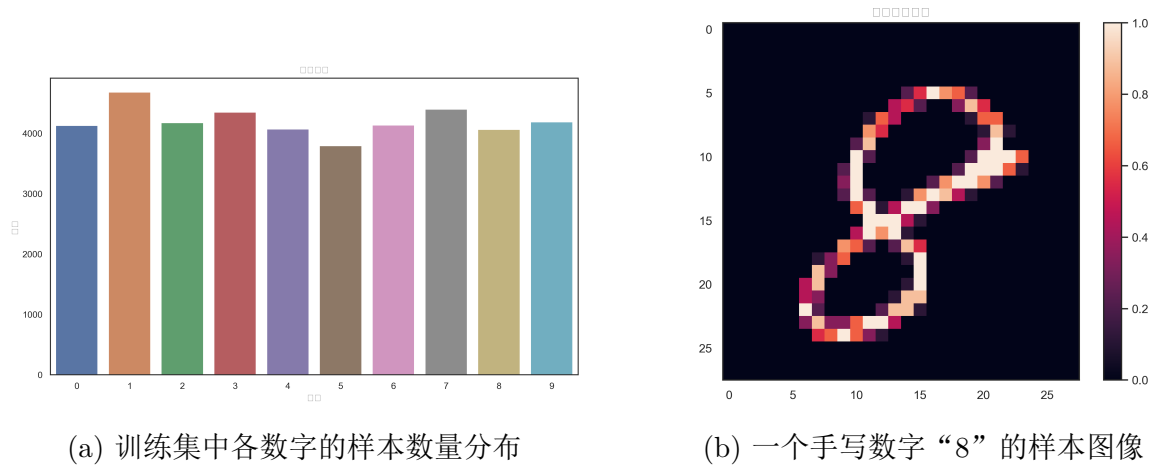
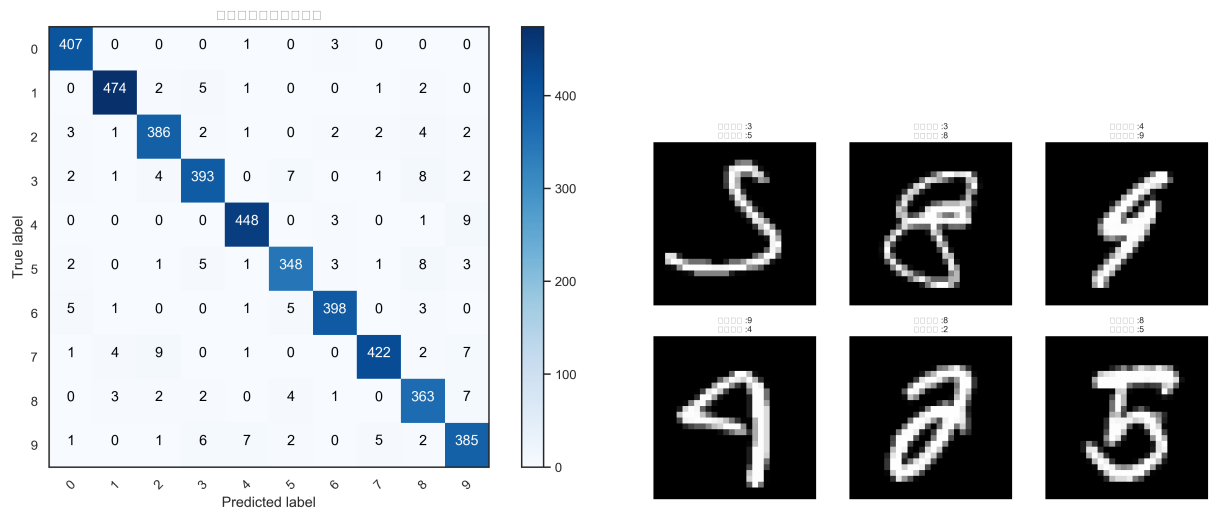


图 2.1: 手写数字数据集的数据探索可视化

2. 模型评估与错误分析 模型训练完成后，我们需要对其性能进行深入评估。混淆矩阵（如图 2.2a）是一种强大的工具，它不仅展示了总体准确率，还清晰地揭示了模型容易将哪些类别混淆。例如，图中显示数字“4”有时会被错误地预测为“9”。进一步地，我们可以将这些被错误分类的样本单独提取出来进行可视化分析（如图 2.2b），这对于理解模型的弱点、进行针对性的优化至关重要。这些定性和定量的分析方法，与前述的精确率、召回率等公式共同构成了分类问题完整的评估体系。



(a) 模型在验证集上的混淆矩阵

(b) 模型错误分类的样本示例

图 2.2: 分类模型的性能评估与错误分析

- 回归 (Regression):** 与分类不同，回归任务的目标是预测一个连续的数值。例如，根据房屋的面积、位置和房龄等特征来预测其售价。线性回归是最基础的回归模

型，它试图找到一条直线（或超平面）来最佳地拟合数据点。在回归任务中，常用的损失函数是均方误差（Mean Squared Error, MSE），其定义为：

$$L_{MSE} = \frac{1}{N} \sum_{i=1}^N (y_i - \hat{y}_i)^2$$

其中 y_i 是真实值， \hat{y}_i 是模型的预测值。模型的目标是调整参数以最小化该损失函数。

案例研究：线性回归的数学原理与实现

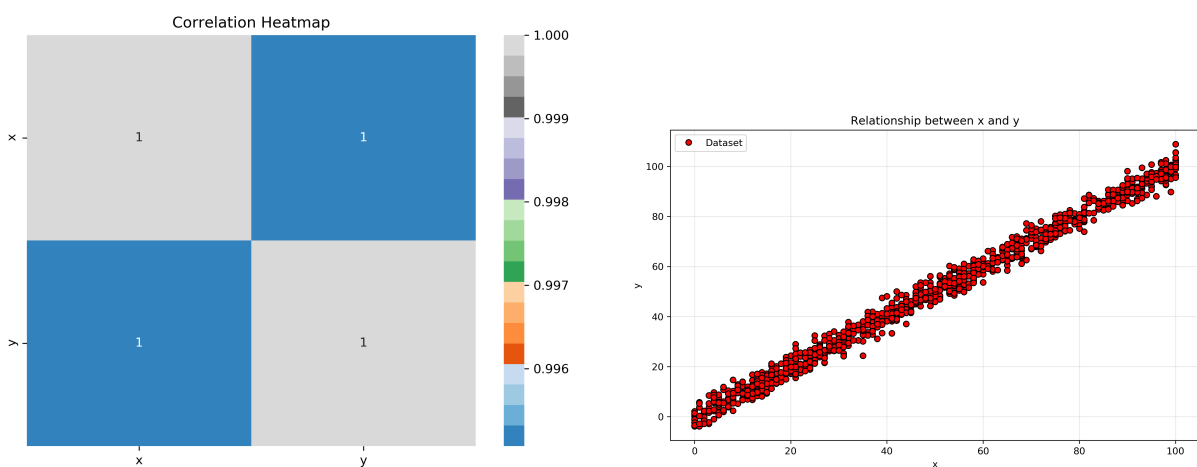
为了更具体地说明回归过程，我们以一个简单的线性回归为例，展示其从数据探索到模型建立的关键步骤和数学原理。

1. 矩阵化模型与正规方程 在实践中，我们将多个样本的线性回归方程整合成矩阵形式。假设有 N 个样本，每个样本有 p 个特征，则模型可以表示为 $\mathbf{y} = \mathbf{X}\boldsymbol{\theta}$ 。最小化均方误差损失函数的过程，可以通过求解其对参数 $\boldsymbol{\theta}$ 的偏导数并令其为零来实现。这导出了一个可以直接计算出最优参数估计值 $\hat{\boldsymbol{\theta}}$ 的闭式解，称为正规方程（Normal Equation）：

$$\hat{\boldsymbol{\theta}} = (\mathbf{X}^T \mathbf{X})^{-1} \mathbf{X}^T \mathbf{y}$$

这个方程是许多线性回归库求解的基础。

2. 实例数据分析与可视化 在一个具体的回归任务中，我们首先通过可视化来探索数据。图 2.3 展示了数据探索的两个关键步骤：(a) 使用相关性热力图检查特征与目标值之间的线性关系强度；(b) 通过散点图直观地观察数据的分布趋势。



(a) 特征与目标值的相关性热力图

(b) 原始数据分布散点图

图 2.3: 线性回归案例的数据探索可视化

在确认数据适合进行线性回归后，我们应用上述正规方程求解模型参数，并对模型进行评估。图 2.4 展示了线性回归模型的概念与最终拟合效果：(a) 概念图清晰地展示了线性回归的目标是找到一条最佳拟合直线来描述数据点的趋势；(b) 将训练好的模型应用于测试集，并将预测结果（蓝色直线）与真实的测试数据点（红色点）进行对比，以评估模型的泛化能力。

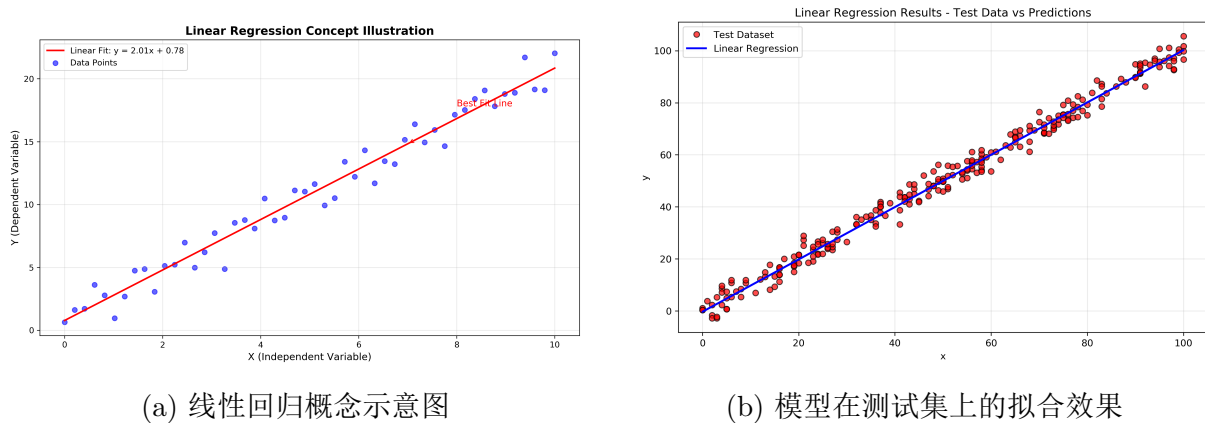


图 2.4: 线性回归模型概念与拟合结果

2.2.2 无监督学习

无监督学习处理的是没有标签的数据，其目标是发现数据本身内在的结构、模式或关系^[14]。

- **聚类 (Clustering):** 聚类是将数据集中的样本划分为若干个相似的组（或簇），使得同一簇内的样本彼此相似，而不同簇的样本则相异。K-均值 (K-Means) 算法是聚类中最经典的算法之一，它通过迭代地将样本分配给最近的簇中心，并更新簇中心的位置，来最小化簇内样本的平方误差和。
- **降维 (Dimensionality Reduction):** 降维旨在保留数据主要信息的前提下，减少数据的特征数量。这不仅可以降低计算复杂度和存储需求，还有助于可视化和去除噪声。主成分分析 (Principal Component Analysis, PCA) 是一种广泛应用的线性降维方法，它通过寻找数据方差最大的方向（即主成分）来构建一个新的、更低维的特征空间。

2.2.3 强化学习

强化学习 (RL) 的灵感来源于行为心理学，它关注智能体 (Agent) 如何在一个环境中通过与环境的交互来学习最优的行动策略，以最大化其获得的累积奖励^[15]。

- **核心原理：**强化学习系统包含智能体、环境、状态、行动和奖励等核心要素。智能体根据当前状态选择一个行动，环境接收该行动后会转换到一个新的状态，并反馈给智能体一个奖励信号。智能体的目标就是学习一个策略（Policy），即从状态到行动的映射，来最大化其长期累积奖励。

- **经典算法：**
 - **Q-learning：** Q-learning 是一种经典的基于价值的强化学习算法。它通过学习一个动作价值函数（Q-function）， $Q(s, a)$ ，来评估在状态 s 下采取行动 a 所能带来的未来回报。通过不断地与环境交互并使用贝尔曼方程（Bellman Equation）来迭代更新 Q 值，智能体最终能够学会在任何状态下选择 Q 值最大的行动。Q-learning 通过不断地与环境交互来迭代更新 Q 表格中的值。其核心的更新规则基于贝尔曼方程，具体如下：

$$Q(s_t, a_t) \leftarrow Q(s_t, a_t) + \alpha[r_{t+1} + \gamma \max_a Q(s_{t+1}, a) - Q(s_t, a_t)]$$

其中：

- * s_t 和 a_t 分别是当前时刻的状态和采取的行动。
- * α 是学习率（Learning Rate），决定了新信息在多大程度上覆盖旧信息。
- * r_{t+1} 是在状态 s 采取行动后获得的即时奖励。
- * γ 是折扣因子（Discount Factor），衡量了未来奖励的重要性。
- * s_{t+1} 是下一个状态。
- * $\max_a Q(s_{t+1}, a)$ 是对下一个状态所有可能行动的 Q 值的最大预估，代表了对未来的最佳期望。

智能体的训练实验是否成功，就看 Q 函数最终能否收敛，从而指导智能体在每个状态下都能做出最优决策。

- **AlphaGo：** AlphaGo 的成功是强化学习与深度学习结合的里程碑。它综合运用了监督学习（从人类棋谱中学习）和强化学习（通过自我对弈进行提升），其核心是一个深度神经网络，该网络能够同时预测下一步的最佳落子位置（策略网络）并评估当前棋局的胜率（价值网络）。
- **应用领域：** 强化学习在机器人控制、游戏 AI（如 AlphaGo 和 AlphaStar）、资源调度和推荐系统等需要进行序列决策的领域展现出巨大的潜力。

2.3 深度学习的崛起与应用

深度学习作为机器学习的一个强大分支，通过构建深度神经网络（DNNs），在许多领域取得了革命性的突破，成为当前人工智能发展的核心引擎^[16]。

2.3.1 卷积神经网络（CNN）与计算机视觉

卷积神经网络（Convolutional Neural Network, CNN）是深度学习在计算机视觉领域取得巨大成功的关键。其核心设计思想借鉴了生物视觉皮层的结构，通过引入卷积层（Convolutional Layer）和池化层（Pooling Layer）来有效地处理和学习图像数据。

- **核心机制：**

- **卷积层：**使用可学习的滤波器（或称卷积核）在输入图像上进行滑动窗口式的卷积运算，以提取诸如边缘、角点和纹理等局部特征。
- **参数共享（Parameter Sharing）：**同一个滤波器在图像的不同位置共享同一组权重，这极大地减少了模型的参数数量，并使其具备平移不变性。
- **池化层：**对卷积层输出的特征图（Feature Map）进行下采样，以降低特征图的分辨率，减少计算量，并增强模型的鲁棒性。
- **应用突破：**以 AlexNet、VGG、ResNet 等为代表的深度 CNN 模型，在 ImageNet 等大规模图像识别竞赛中取得了超越人类的性能，并被广泛应用于图像识别、目标检测、图像分割和人脸识别等核心视觉任务中。这些深度模型在训练过程中的核心是最小化一个损失函数。对于图像识别等多分类任务，最核心的损失函数是**交叉熵损失（Cross-Entropy Loss）**。它衡量了模型预测的概率分布与真实的标签分布之间的差异。对于单个样本，其损失定义为：

$$L_{CE} = - \sum_{i=1}^C y_i \log(\hat{y}_i)$$

其中， C 是类别的总数，是一个符号函数（one-hot 编码），如果该样本的真实类别是，则 $y_i = 1$ ，否则为 0。是模型预测该样本属于类别的概率。整个训练实验的目标，就是通过反向传播算法调整网络权重，使得在整个训练集上的总损失最小化。

2.3.2 循环神经网络（RNN）与长短记忆网络（LSTM）

循环神经网络（Recurrent Neural Network, RNN）专为处理序列数据（如文本、语音和时间序列数据）而设计。

- **核心思想：** RNN 通过在网络中引入循环结构，使得信息可以在时间步之间传递。当前时间步的隐藏状态不仅取决于当前的输入，还取决于前一时间步的隐藏状态，从而使网络具备了记忆能力。
- **长短记忆网络（LSTM）：**传统的 RNN 在处理长序列时，容易出现梯度消失或梯度爆炸的问题，导致其难以学习到长期的依赖关系。长短记忆网络（Long

Short-Term Memory, LSTM) 通过引入一个精巧的门控机制——包含输入门、遗忘门和输出门——来解决这一问题。这些门控单元能够有选择地让信息通过、更新或遗忘, 从而有效地捕捉和利用序列中的长期依赖信息。LSTM 及其变体(如 GRU) 在机器翻译、语音识别和情感分析等任务中取得了巨大成功。

案例研究：基于 LSTM 的文本分类（推文灾难识别）

为了更深入地理解 LSTM 的工作原理, 我们以一个典型的自然语言处理任务——推文灾难识别为例。该任务的目标是判断一条推文 (Tweet) 是否描述了真实的灾难事件。

1. LSTM 核心数学表达式 LSTM 的核心在于其单元 (Cell) 结构, 它通过三个“门” (Gate) 来控制信息的流动: 遗忘门、输入门和输出门。在时间步 t , 对于输入向量 x_t 和前一时间步的隐藏状态 h_{t-1} , LSTM 单元的计算过程如下 (以矩阵表示):

- **遗忘门 (Forget Gate)** f_t : 决定从单元状态 (Cell State) C_{t-1} 中丢弃多少信息。

$$f_t = \sigma(W_f \cdot [h_{t-1}, x_t] + b_f)$$

- **输入门 (Input Gate)** i_t : 决定将哪些新信息存入单元状态。它由两部分组成: sigmoid 层决定更新哪些值, \tanh 层创建一个候选值向量 \tilde{C}_t 。

$$i_t = \sigma(W_i \cdot [h_{t-1}, x_t] + b_i)$$

$$\tilde{C}_t = \tanh(W_C \cdot [h_{t-1}, x_t] + b_C)$$

- **单元状态更新 (Cell State Update)** C_t : 结合旧状态和新候选值来更新单元状态。

$$C_t = f_t \odot C_{t-1} + i_t \odot \tilde{C}_t$$

- **输出门 (Output Gate)** o_t : 决定从单元状态中输出什么信息, 并生成最终的隐藏状态 h_t 。

$$o_t = \sigma(W_o \cdot [h_{t-1}, x_t] + b_o)$$

$$h_t = o_t \odot \tanh(C_t)$$

其中, W 和 b 分别是各门的权重矩阵和偏置向量, σ 是 Sigmoid 激活函数, \odot 代表逐元素乘积 (Hadamard product)。这些公式共同确保了信息可以在长序列中有效地传递和更新。

2. 探索性数据分析（EDA） 在将文本数据送入 LSTM 模型前，进行探索性数据分析（EDA）至关重要。这有助于理解语料库的特征，例如文本长度、词汇构成和标点符号的使用。图 2.5 展示了灾难性与非灾难性推文在字符数、词数和平均词长上的分布对比。

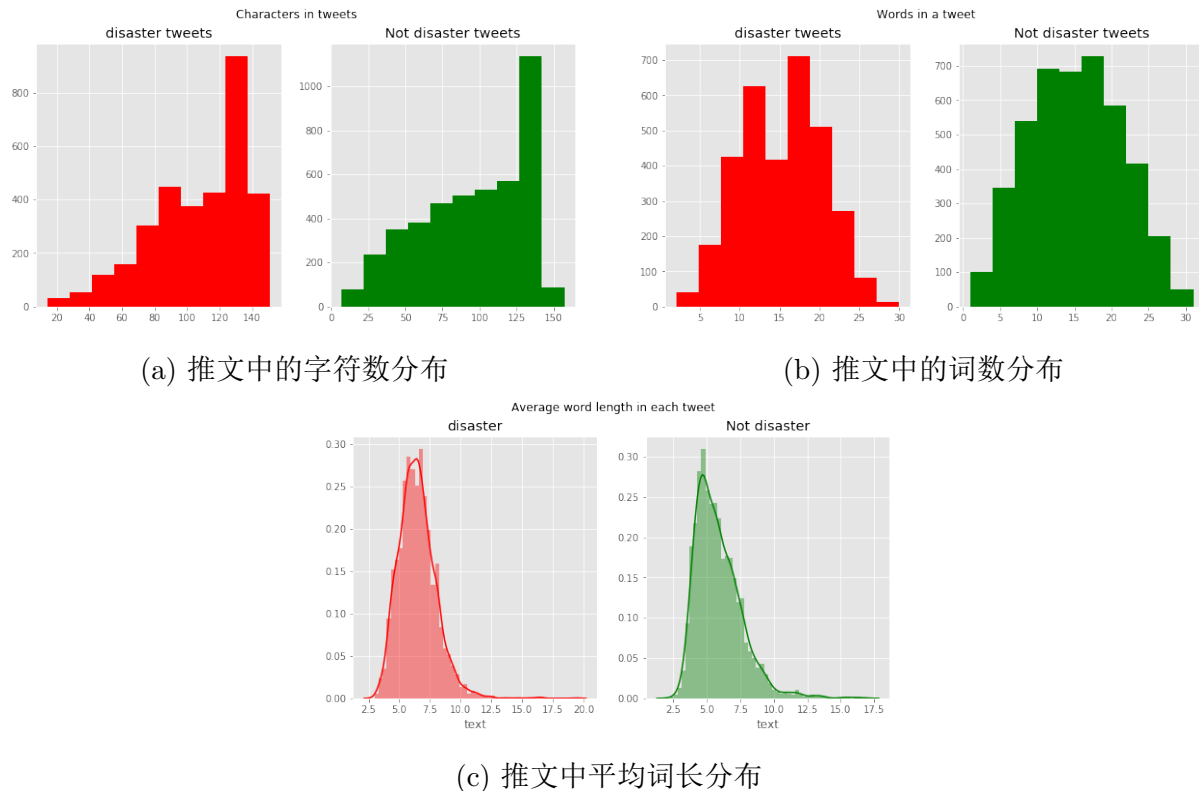


图 2.5: 灾难性与非灾难性推文的基础文本统计对比

进一步地，我们分析了停用词（Stopwords）和标点符号的使用频率，如图 2.6 所示。这些分析可以指导我们进行数据清洗和预处理，例如是否需要移除停用词和标点。

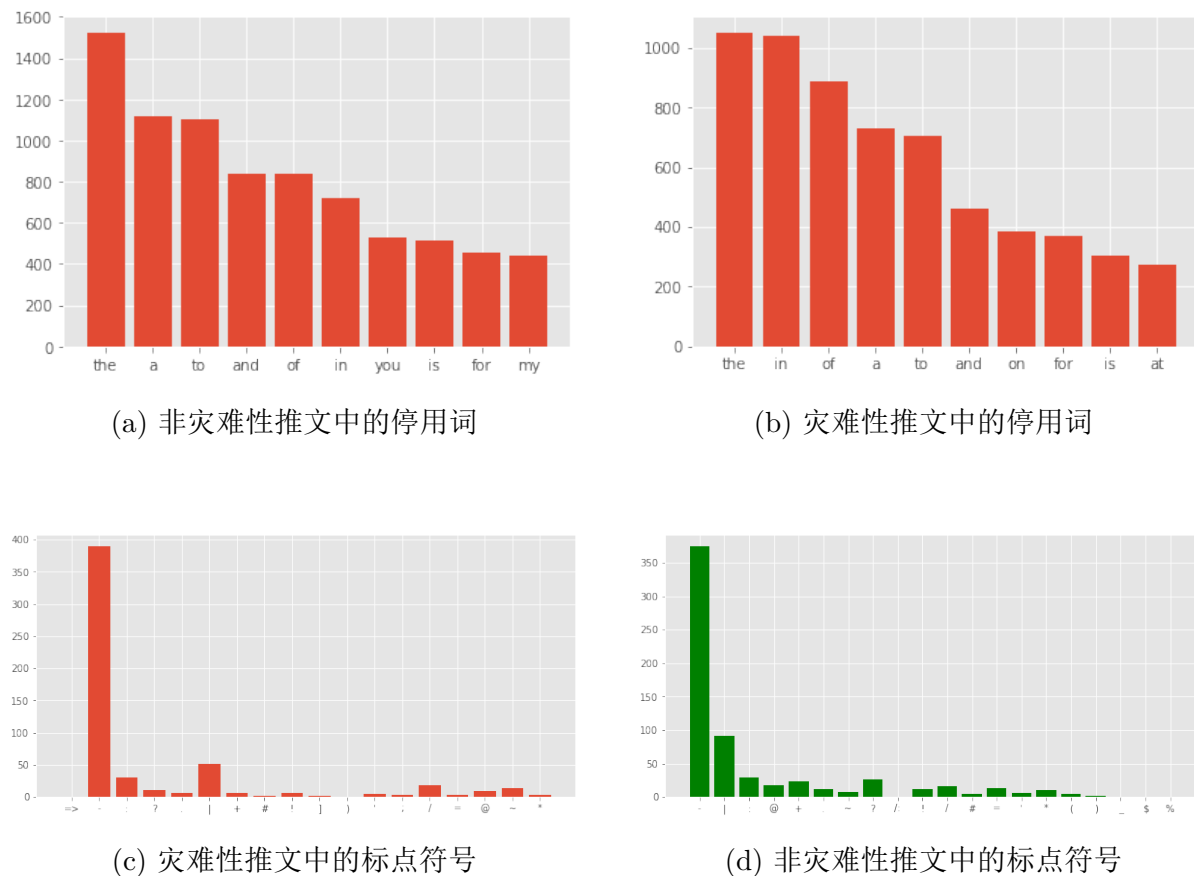


图 2.6: 灾难性与非灾难性推文中停用词与标点符号的对比分析

最后,通过分析最常见词汇和双词组合(Bigrams),如图 2.7,我们可以洞察两类推文在内容上的核心差异,这为特征工程和模型训练提供了重要依据。

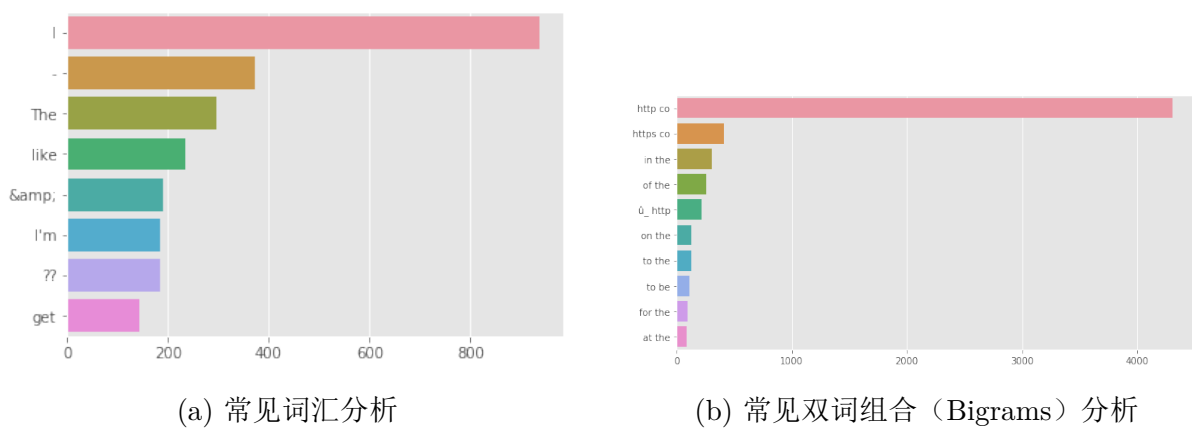


图 2.7: 推文中内容词汇的频率分析

2.3.3 Transformer 架构与自注意力机制

2017 年提出的 Transformer 架构彻底改变了自然语言处理 (NLP) 领域。其核心创新是完全抛弃了 RNN 的循环结构, 转而完全依赖于自注意力机制 (Self-Attention Mechanism)。

- **自注意力机制:** 自注意力机制允许模型在处理一个序列时, 直接计算序列中任意两个位置之间的依赖关系, 而无需考虑它们之间的距离。对于序列中的每一个词, 模型都会计算它与序列中所有其他词的“注意力分数”, 这些分数决定了在编码当前词时, 应该给予其他词多大的权重。这使得模型能够捕捉到句子内部复杂的语法和语义关系。
- **并行化优势:** 由于摆脱了 RNN 的顺序计算依赖, Transformer 可以对整个序列进行并行计算, 极大地提高了训练效率。
- **里程碑模型:** 基于 Transformer 架构, 诞生了一系列颠覆性的预训练语言模型, 如 BERT(Bidirectional Encoder Representations from Transformers) 和 GPT (Generative Pre-trained Transformer) 系列。这些模型通过在海量无标注文本上进行预训练, 学习到丰富的语言知识, 然后在各种下游 NLP 任务上进行微调, 取得了前所未有的性能表现。

案例研究: Transformer 的内部工作原理

为了更深入地剖析其内部机制, 我们以一个 Encoder-Decoder 结构的 Transformer 为例, 逐步拆解其核心组件。

1. **输入向量化与 \mathbf{Q} 、 \mathbf{K} 、 \mathbf{V} 矩阵** 模型的第一步是将每个输入词的词嵌入 (Embedding) 向量, 通过乘以三个可学习的权重矩阵 W^Q, W^K, W^V , 分别转换为查询向量 (Query)、键向量 (Key) 和值向量 (Value)。如图 2.8 所示, 这些向量是计算自注意力的基础。

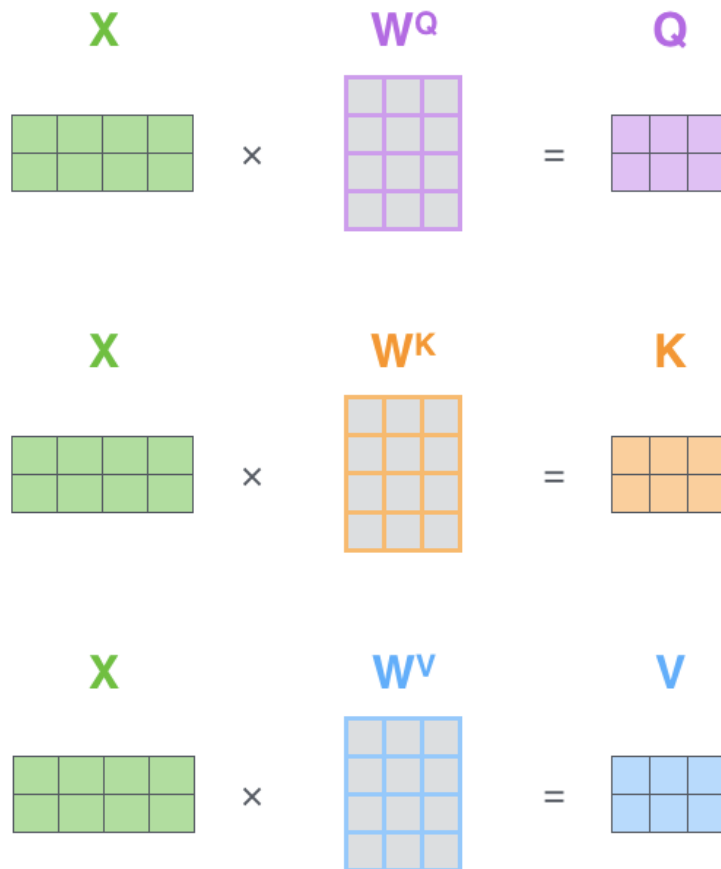


图 2.8: 从词嵌入向量 X 生成查询 (Q)、键 (K)、值 (V) 矩阵

2. 缩放点积注意力 (Scaled Dot-Product Attention) 自注意力的核心计算遵循一个特定的公式, 即缩放点积注意力, 如图 2.9 所示。其数学表达式为:

$$\text{Attention}(Q, K, V) = \text{softmax}\left(\frac{QK^T}{\sqrt{d_k}}\right)V$$

这个公式的计算过程是: 首先计算查询向量 Q 与所有键向量 K 的点积, 然后除以一个缩放因子 $\sqrt{d_k}$ (d_k 是键向量的维度) 以稳定梯度, 接着通过一个 Softmax 函数将结果归一化为注意力权重, 最后将这些权重应用于值向量 V 进行加权求和, 得到该位置的注意力输出。

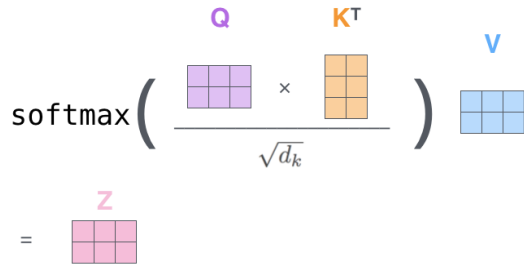


图 2.9: 缩放点积注意力的计算流程

3. 多头注意力机制 (Multi-Head Attention) 为了让模型能够同时关注来自不同表示子空间的信息, Transformer 采用了多头注意力机制。如图 2.10a 和 2.10b 所示, 它将 \mathbf{Q} 、 \mathbf{K} 、 \mathbf{V} 矩阵在维度上分割成多个“头”(Heads), 对每个头独立地执行缩放点积注意力计算, 然后将所有头的输出结果拼接 (Concatenate) 起来, 并通过一个最终的权重矩阵 \mathbf{W}^O 进行线性变换, 得到最终的输出。

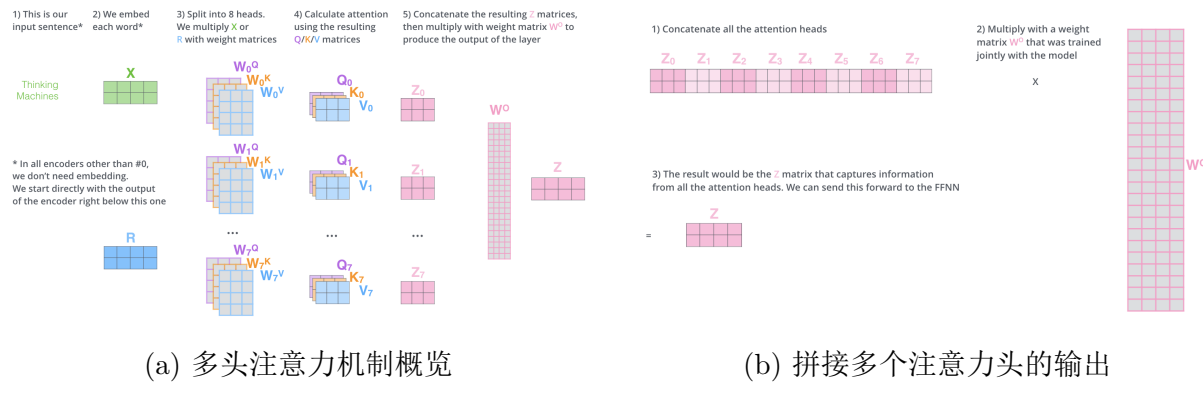


图 2.10: 多头注意力机制的分解与整合

图 2.11 直观地展示了自注意力机制的效果。在处理句子 “The animal didn't cross the street because it was too tired” 时, 其中一个注意力头在编码单词 “it” 时, 会将大部分的注意力分配给 “animal”, 从而正确地理解了 “it”的指代对象。

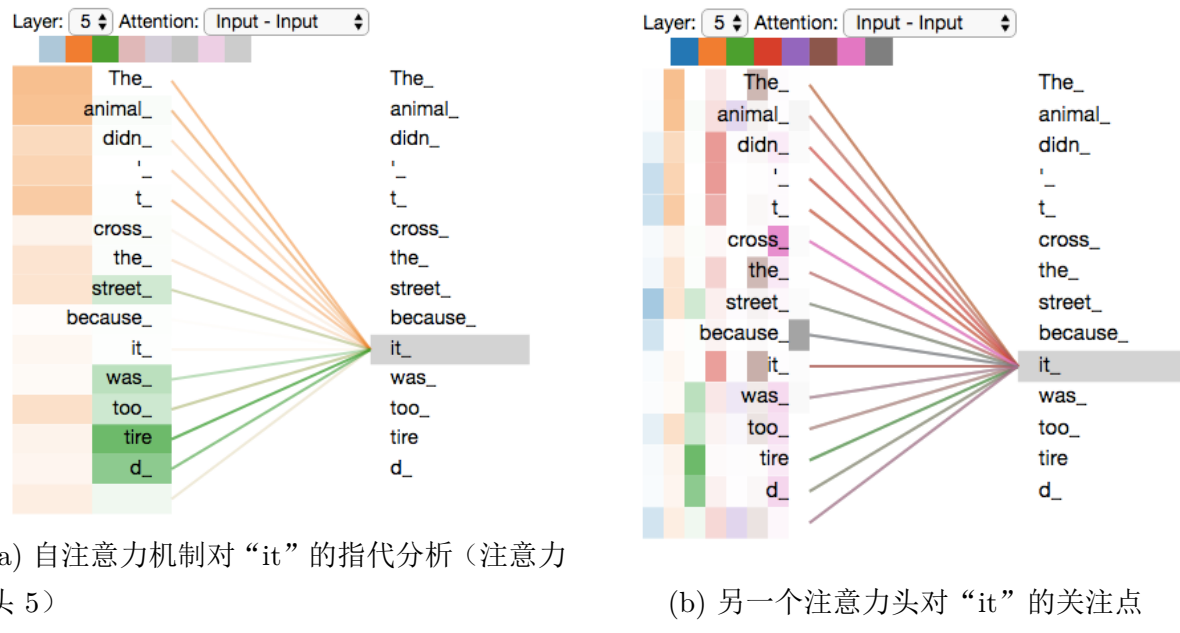


图 2.11: 自注意力机制的可视化实例对比

4. 整体架构：编码器与解码器 Transformer 模型由编码器（Encoder）和解码器（Decoder）堆栈组成。每个编码器层（如图 2.12）包含一个多头自注意力层和一个前馈神经网络层，并通过残差连接（Residual Connection）和层归一化（Layer Normalization）进行优化。解码器层则在编码器层的基础上，增加了一个用于处理编码器输出的“编码器-解码器注意力”层。整个架构如图 2.13a 所示，最终通过一个线性和 Softmax 层输出预测结果的概率分布（如图 2.13b）。

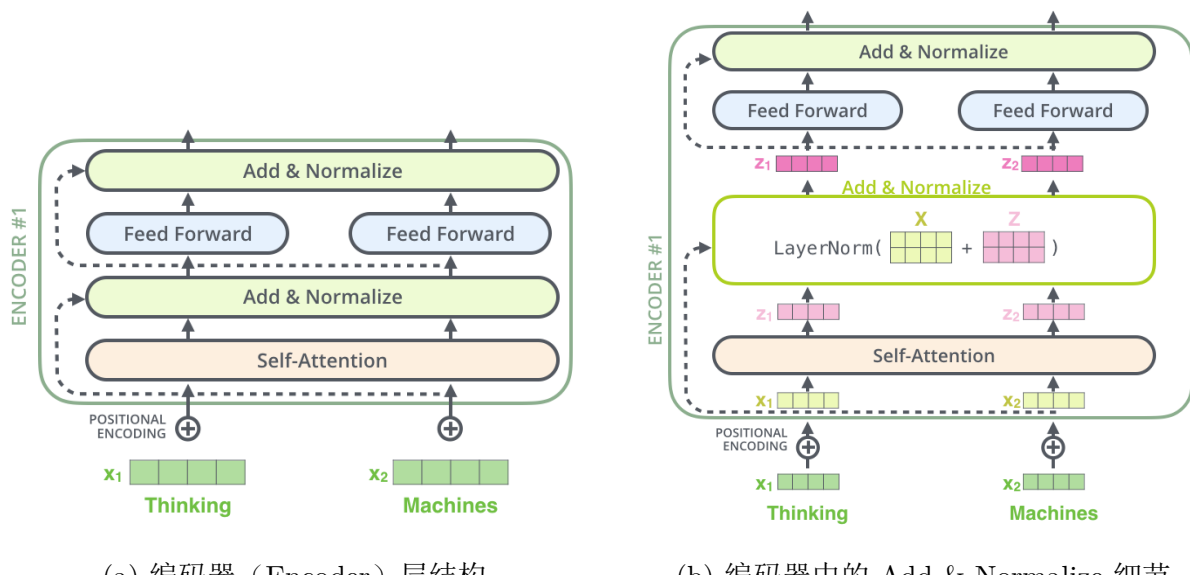


图 2.12: Transformer 编码器模块结构

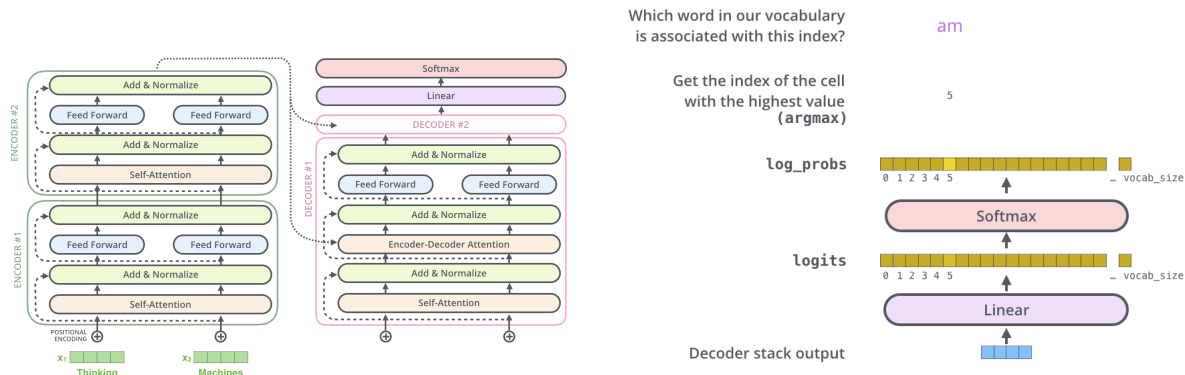


图 2.13: Transformer 整体架构与输出层

2.4 生成式人工智能（Generative AI）

生成式人工智能旨在创造新的、原创性的内容，如图像、文本、音乐和代码，而非仅仅进行分类或预测。

- **生成对抗网络 (GANs):** 生成对抗网络 (Generative Adversarial Networks, GANs) 由一个生成器 (Generator) 和一个判别器 (Discriminator) 组成。生成器的任务是生成以假乱真的数据 (如图片)，而判别器的任务是尽可能准确地分辨出哪些数据是真实的，哪些是生成器伪造的。两者通过一种“对抗游戏”的方式进行训练：生成器努力欺骗判别器，而判别器则努力不被欺骗。这种对抗过程最终能驱动生成器产生高度逼真和多样化的內容。

案例研究：GAN 的博弈过程与训练细节

GAN 的核心思想是通过生成器 (Generator, G) 和判别器 (Discriminator, D) 之间的“对抗”来学习数据的真实分布。我们可以将 D 视作一个传统的分类器 (如图 2.14a)，其任务是判断输入是真实数据还是伪造数据；而 G 则是一个生成模型 (如图 2.14b)，它试图将简单的随机噪声 z 映射为与真实数据无法区分的样本 $G(z)$ ¹⁵。

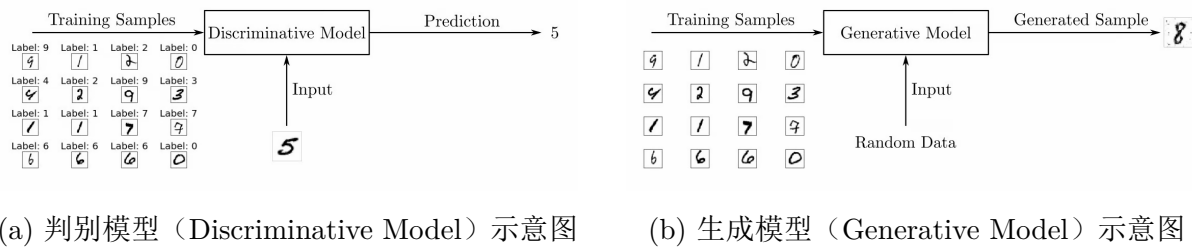


图 2.14: GAN 的两个核心组件: 判别器与生成器

1. 训练过程的数学解析 GAN 的训练过程是一个迭代的、分阶段的博弈, 其整体流程如图 2.15 所示。

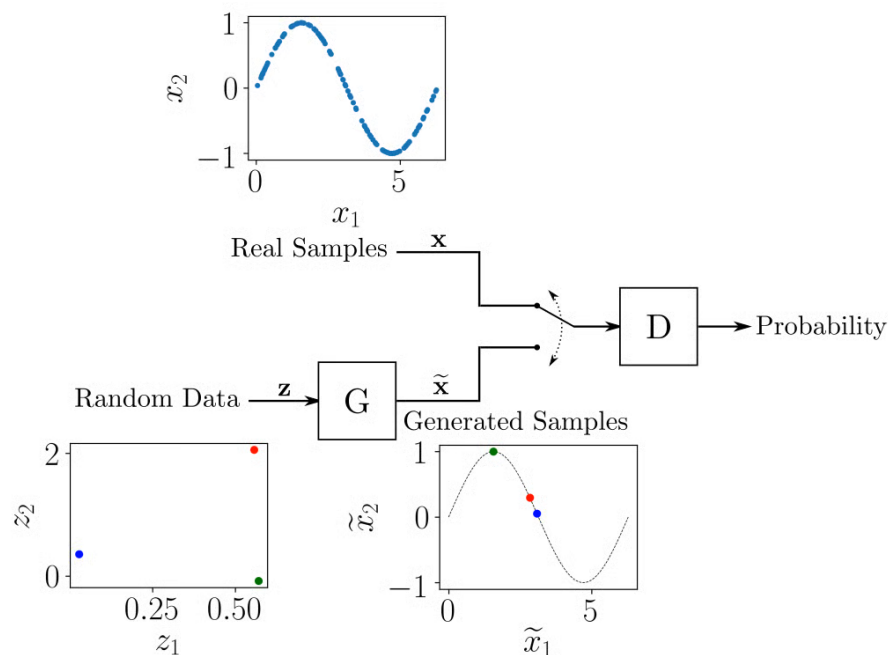


图 2.15: GAN 的整体训练循环示意图, 展示了从真实样本 (Real Samples) 和生成样本 (Generated Samples) 到判别器和损失函数的完整流程

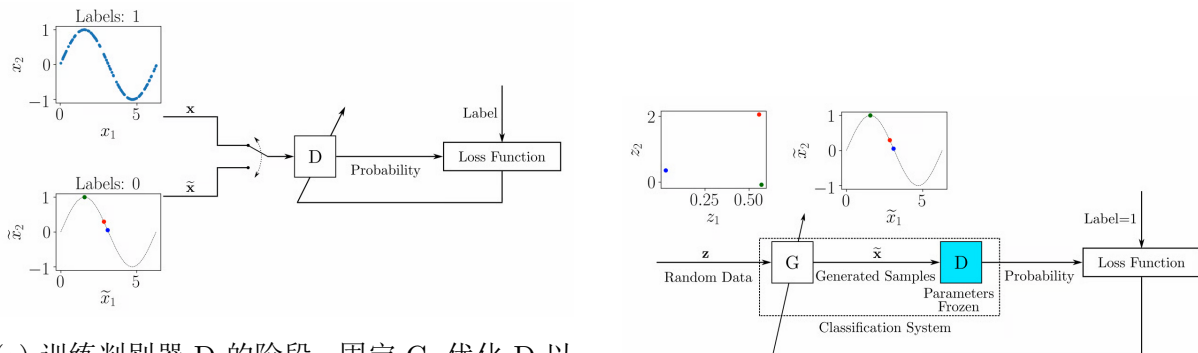
这个过程在数学上可以分解为两个独立的优化阶段 (如图 2.16):

- 阶段一: 训练判别器 D 。在此阶段, 生成器 G 的参数被固定。判别器 D 的目标是最大化其正确分类的能力, 即对于来自真实数据分布 $p_{\text{data}}(x)$ 的样本 x , 最大化 $D(x)$; 对于来自生成器 G 的伪造样本 $G(z)$ (其中 $z \sim p_z(z)$), 最大化 $1 - D(G(z))^{15}$ 。这等价于最大化以下目标函数, 也就是之前提到的价值函数 $V(D, G)$:

$$\max_D V(D, G) = \mathbb{E}_{x \sim p_{\text{data}}(x)} [\log D(x)] + \mathbb{E}_{z \sim p_z(z)} [\log(1 - D(G(z)))]$$

- 阶段二：训练生成器 G 。判别器 D 的参数被固定。生成器 G 的目标是最小化其生成样本被判别器识别出来的概率，即最小化 $1 - D(G(z))$ ，这等价于最大化 $D(G(z))^{15}$ 。在实践中，为了避免在训练初期因 D 过强而导致 G 的梯度消失问题，通常不直接最小化 $\log(1 - D(G(z)))$ ，而是采用非饱和的目标函数，即最大化 $\log D(G(z))^{15}$ 。因此，生成器的优化目标是：

$$\max_G V_G = \mathbb{E}_{z \sim p_z(z)} [\log D(G(z))]$$



(a) 训练判别器 D 的阶段：固定 G，优化 D 以区分真伪样本。真实样本 x 的标签为 1，生成样本 $G(z)$ 的标签为 0。

(b) 训练生成器 G 的阶段：固定 D，优化 G 以生成能让 D 判断为“真”（标签 1）的样本。

图 2.16: GAN 训练的两个交替阶段对比

2. 收敛与理论最优解 当且仅当生成分布 p_g 与真实数据分布 p_{data} 完全一致时，这个博弈过程达到纳什均衡⁸⁹。此时，判别器 D 无法区分真实样本与生成样本，对于任何输入 x ，其输出概率恒为 $\frac{1}{2}$ ，即：

$$D_G^*(x) = \frac{p_{\text{data}}(x)}{p_{\text{data}}(x) + p_g(x)} = \frac{1}{2}$$

从理论上，这个过程等价于最小化真实分布与生成分布之间的 JS 散度（Jensen-Shannon Divergence），这为 GAN 的收敛性提供了理论保障⁹⁰。

3. GAN 的架构与应用实例 现代 GAN，特别是深度卷积生成对抗网络（DC-GAN），使用深度卷积网络作为生成器和判别器的架构。生成器通常由一系列转置卷积（或称反卷积）层构成，将一个低维的随机噪声向量 z 逐步上采样，最终生成高分辨率的图像（如图 2.17a 所示）。通过学习，GAN 能够捕捉到数据背后的复杂流形结构，将简单的噪声分布（如图 2.17b 中的 Samples）映射为具有丰富细节的生成图像。

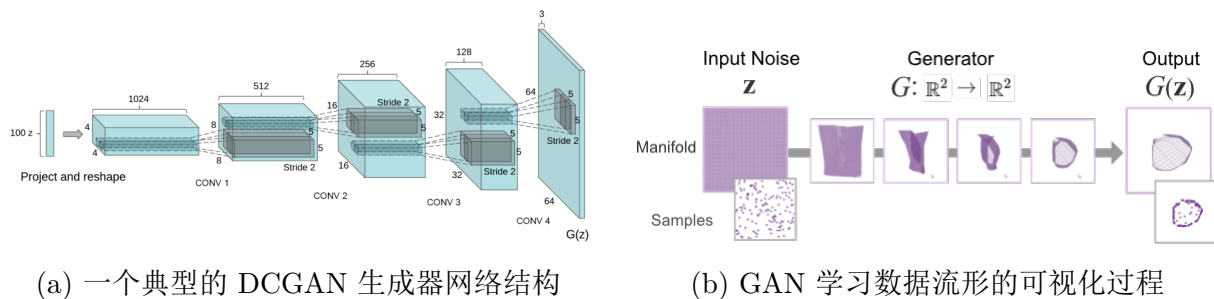


图 2.17: DCGAN 架构示例与 GAN 的流形学习能力

- **扩散模型 (Diffusion Models):** 扩散模型是近年来在图像生成领域取得巨大成功的另一类生成模型。其核心思想分为两个过程: 一个前向的“扩散”过程和一个反向的“去噪”过程。在前向过程中, 模型逐步地向一张真实的图片中添加噪声, 直到其完全变为纯噪声。在反向过程中, 模型学习如何从纯噪声开始, 逐步地、迭代地去除噪声, 最终恢复出一张清晰、高质量的图片。正是通过学习这个去噪过程, 模型掌握了生成新图像的能力。

案例研究：扩散模型的数学原理与实现

扩散模型 (Denoising Diffusion Probabilistic Models, DDPMs) 通过模拟一个逐渐破坏数据再重建数据的过程来进行学习和生成^[17]。

1. 前向过程 (Forward Process / Diffusion Process) 前向过程是一个固定的马尔可夫链, 它逐步地向原始数据 x_0 (来自真实数据分布 $q(x_0)$) 中添加高斯噪声。这个过程持续 T 个时间步, 噪声的方差由一个预设的时间表 (variance schedule) $\{\beta_t\}_{t=1}^T$ 控制。在任意时间步 t , 从 x_{t-1} 到 x_t 的转换被定义为:

$$q(x_t|x_{t-1}) = \mathcal{N}(x_t; \sqrt{1 - \beta_t}x_{t-1}, \beta_t \mathbf{I})$$

如图 2.18 所示, 随着 t 的增加, 数据逐渐失去其原有特征, 最终在 $t = T$ 时近似于一个标准高斯分布 $\mathcal{N}(0, \mathbf{I})$ 。这个过程的一个重要特性是, 我们可以通过以下公式直接从原始数据 x_0 采样任意时间步 t 的含噪数据 x_t :

$$q(x_t|x_0) = \mathcal{N}(x_t; \sqrt{\bar{\alpha}_t}x_0, (1 - \bar{\alpha}_t)\mathbf{I})$$

其中 $\alpha_t = 1 - \beta_t$ 且 $\bar{\alpha}_t = \prod_{i=1}^t \alpha_i$ 。

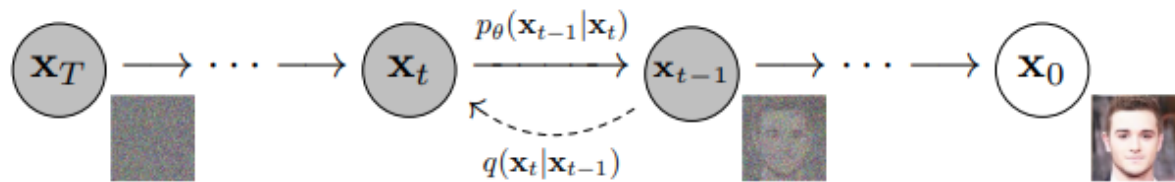


Figure 2: The directed graphical model considered in this work.

图 2.18: 扩散模型的前向过程: 从清晰图像 (x_0) 逐步添加噪声, 直至变为纯噪声图像 (x_T)。

2. 反向过程 (Reverse Process / Denoising Process) 反向过程的目标是学习前向过程的逆过程, 即从纯噪声 x_T 中逐步去除噪声, 最终恢复出原始数据 x_0 。这个过程也是一个马尔可夫链, 但其转移概率是未知的, 需要通过一个深度神经网络 (通常是 U-Net 架构) 来学习。我们将这个由参数 θ 控制的神经网络表示为 p_θ 。反向过程的每一步定义为:

$$p_\theta(x_{t-1}|x_t) = \mathcal{N}(x_{t-1}; \mu_\theta(x_t, t), \Sigma_\theta(x_t, t))$$

如图 2.19 所示, 模型在每个时间步 t 预测噪声, 然后从含噪图像 x_t 中减去预测的噪声, 得到一个更清晰的图像 x_{t-1} 。

Algorithm 1 Training

- 1: **repeat**
 - 2: $\mathbf{x}_0 \sim q(\mathbf{x}_0)$
 - 3: $t \sim \text{Uniform}(\{1, \dots, T\})$
 - 4: $\boldsymbol{\epsilon} \sim \mathcal{N}(\mathbf{0}, \mathbf{I})$
 - 5: Take gradient descent step on

$$\nabla_\theta \left\| \boldsymbol{\epsilon} - \boldsymbol{\epsilon}_\theta(\sqrt{\bar{\alpha}_t} \mathbf{x}_0 + \sqrt{1 - \bar{\alpha}_t} \boldsymbol{\epsilon}, t) \right\|^2$$
 - 6: **until** converged
-

图 2.19: 扩散模型的反向 (去噪) 过程: 从随机噪声 (x_T) 开始, 由神经网络引导, 逐步恢复出清晰图像 (x_0)。

3. 训练目标与损失函数 扩散模型的训练目标是最大化数据的对数似然 $\log p_\theta(x_0)$ 。通过变分推断, 这个目标可以转化为最小化一个损失函数 $L(\theta)$, 该损失函数衡量了真实的反向过程后验概率 $q(x_{t-1}|x_t, x_0)$ 与模型学习到的近似后验概率 $p_\theta(x_{t-1}|x_t)$ 之间的 KL 散度³¹⁵。经过简化, 一个更直接的训练目标是让神经网络 $\epsilon_\theta(x_t, t)$ 在每个时间步都能准确地预测出添加到 x_0 中以产生 x_t 的噪声 ϵ 。其简化的损失函数为:

$$L_{\text{simple}}(\theta) = \mathbb{E}_{t, x_0, \epsilon} [||\epsilon - \epsilon_\theta(\sqrt{\bar{\alpha}_t}x_0 + \sqrt{1 - \bar{\alpha}_t}\epsilon, t)||^2]$$

其中 t 从 $\{1, \dots, T\}$ 中均匀采样, $\epsilon \sim \mathcal{N}(0, \mathbf{I})$ 。如图 2.20 所示, 模型通过不断地比较真实噪声和预测噪声的差异来优化自身参数。

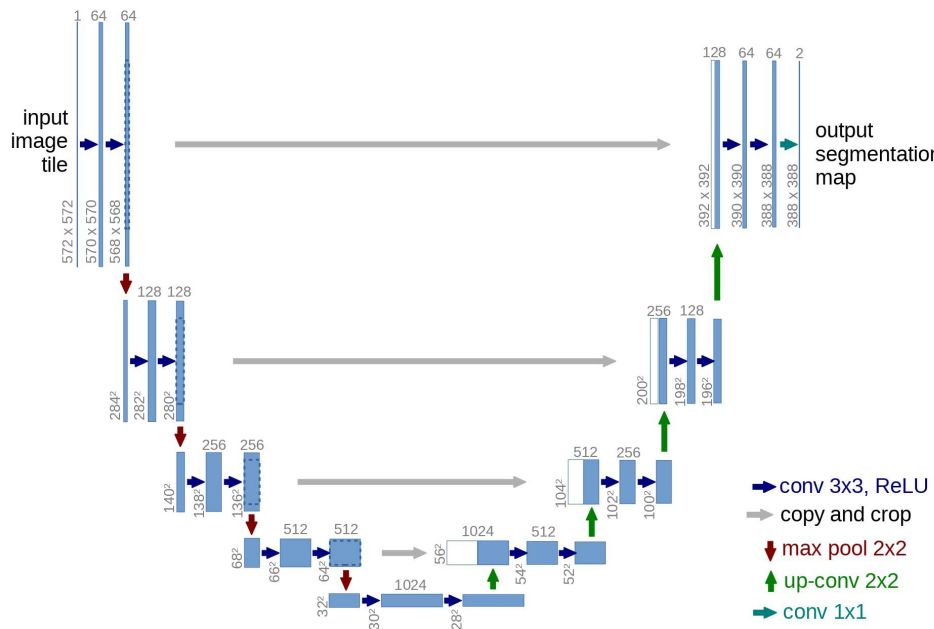


图 2.20: 扩散模型的训练目标: 神经网络 ϵ_θ 学习预测在时间步 t 添加到原始图像 x_0 上的噪声。

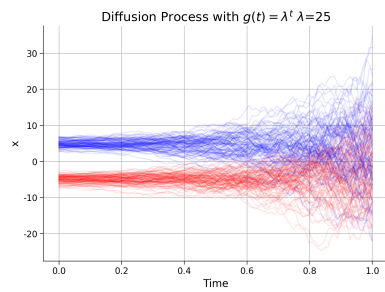
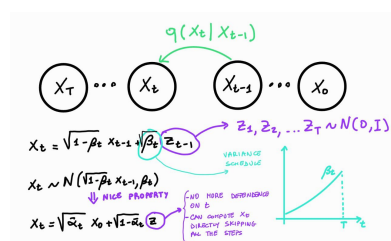
4. 架构与应用实例 扩散模型的生成能力在近年来的多个模型中得到了验证, 如 GLIDE, DALL-E 2, Imagen, 和 Stable Diffusion 等。这些模型通过在反向过程中引入额外的条件 (如文本描述), 实现了高质量的文本到图像生成。图 2.21 展示了不同扩散模型生成的图像, 体现了其在生成细节丰富、语义准确的图像方面的强大能力。

Algorithm 2 Sampling

```

1:  $\mathbf{x}_T \sim \mathcal{N}(\mathbf{0}, \mathbf{I})$ 
2: for  $t = T, \dots, 1$  do
3:    $\mathbf{z} \sim \mathcal{N}(\mathbf{0}, \mathbf{I})$  if  $t > 1$ , else  $\mathbf{z} = \mathbf{0}$ 
4:    $\mathbf{x}_{t-1} = \frac{1}{\sqrt{\alpha_t}} \left( \mathbf{x}_t - \frac{1-\alpha_t}{\sqrt{1-\alpha_t}} \mathbf{e}_\theta(\mathbf{x}_t, t) \right) + \sigma_t \mathbf{z}$ 
5: end for
6: return  $\mathbf{x}_0$ 

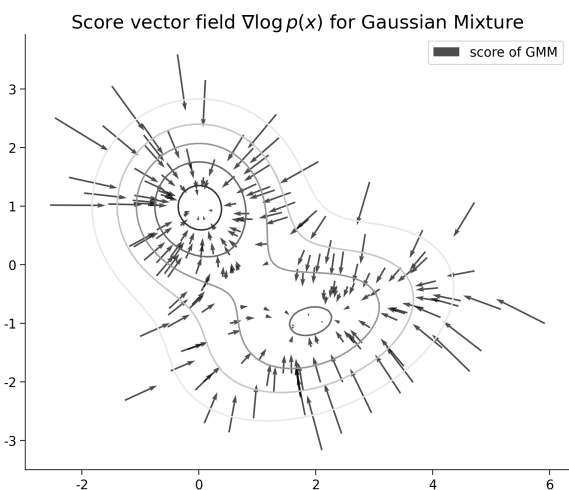
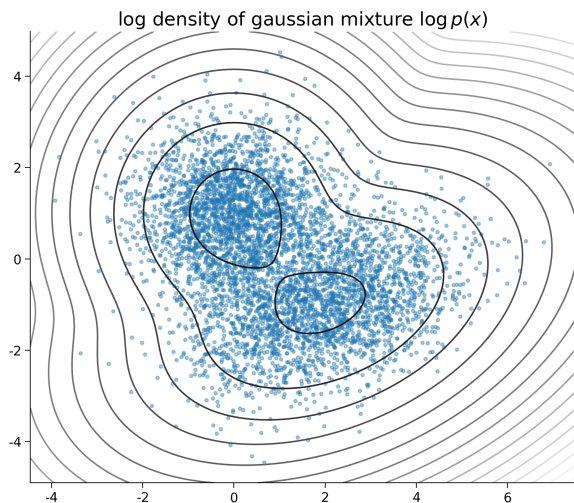
```



(a) GLIDE

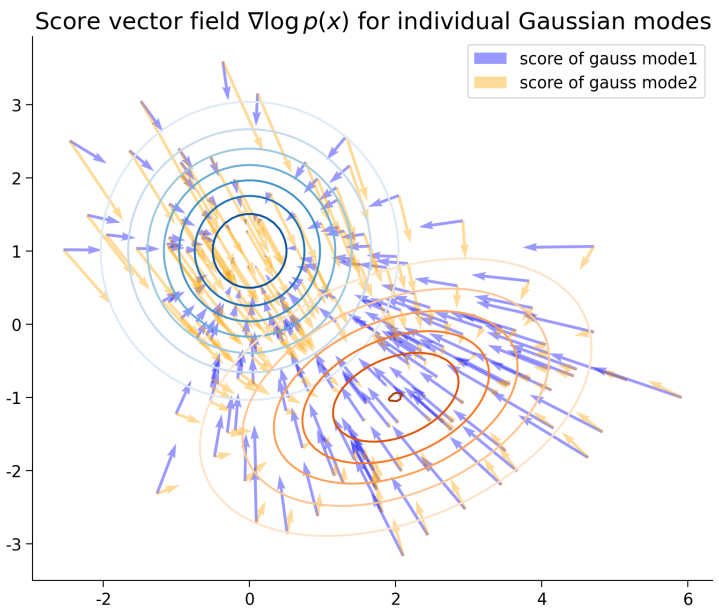
(b) DALL-E 2

(c) Imagen



(d) Stable Diffusion

(e) SDXL Turbo



(f) Stable Diffusion 3

图 2.21: 不同文本到图像扩散模型生成的图像示例

2.5 大型语言模型（LLMs）的兴起

大型语言模型（Large Language Models, LLMs），如 OpenAI 的 GPT-3 和 GPT-4，是现代 AI 发展的集大成者。

- **核心能力：**LLMs 通过在海量的文本和代码数据上进行训练，学习到了强大的语言理解、生成和推理能力。它们不仅能生成流畅、连贯的文本，还能进行翻译、摘要、问答、代码生成，甚至进行一定程度的常识推理和逻辑推理。一个关键的发现是“涌现能力”（Emergent Abilities），即当模型的规模（参数量、数据量和计算量）超过某个阈值后，会突然展现出在小模型上不存在的新能力。
- **应用领域：**LLMs 的应用已经渗透到各个领域，包括：
 - 对话系统：如 ChatGPT，能够进行开放域、多轮次的流畅对话。
 - 内容创作：辅助撰写邮件、报告、营销文案和新闻稿等。
 - 代码生成：如 GitHub Copilot，能够根据自然语言描述自动生成代码片段。
 - 知识问答与搜索：提供比传统搜索引擎更直接、更具概括性的答案。
- **局限性与挑战：**尽管能力强大，LLMs 也面临着诸多挑战，包括：事实性错误（“幻觉”现象）、可能存在的偏见和歧视、高昂的训练和推理成本、以及其决策过程缺乏可解释性等。

案例研究：大型语言模型的规模效应与趋势

大型语言模型（LLMs）的革命性进展，在很大程度上归功于对其“规模效应”（Scaling Effect）的深刻理解和利用。研究发现，LLMs 的性能与其规模——主要包括模型参数量（N）、训练数据集大小（D）和所用计算量（C）——之间存在着可预测的幂律关系（Power Law），这被称为缩放法则（Scaling Laws）。

1. 缩放法则的数学表达 一个简化的缩放法则公式可以表示模型在给定计算预算下的最优损失（Loss） L 与模型参数量 N 和训练数据量 D 的关系：

$$L(N, D) = E + \frac{A}{N^\alpha} + \frac{B}{D^\beta}$$

其中， E, A, B, α, β 均为通过实验拟合得到的常数。该公式揭示了，为了达到最低的损失，模型的参数量和数据量需要协同增长。例如，DeepMind 的 Chinchilla 模型研究发现，在给定计算量下，若要训练出最优模型，模型大小和训练数据量应大致保持 1:1 的比例增长。这一发现指导了后续 LLMs（如 Llama 系列）更高效的训练策略。

2. 发展趋势的可视化分析 近年来, 对 AI 模型训练的投入呈现指数级增长。图 2.22 展示了 AI 领域, 特别是前沿 LLMs, 在训练计算量(以 FLOPs 为单位)上的惊人增长趋势。无论是通用模型还是特定领域的模型, 其计算投入都大致遵循着每年数倍增长的规律。

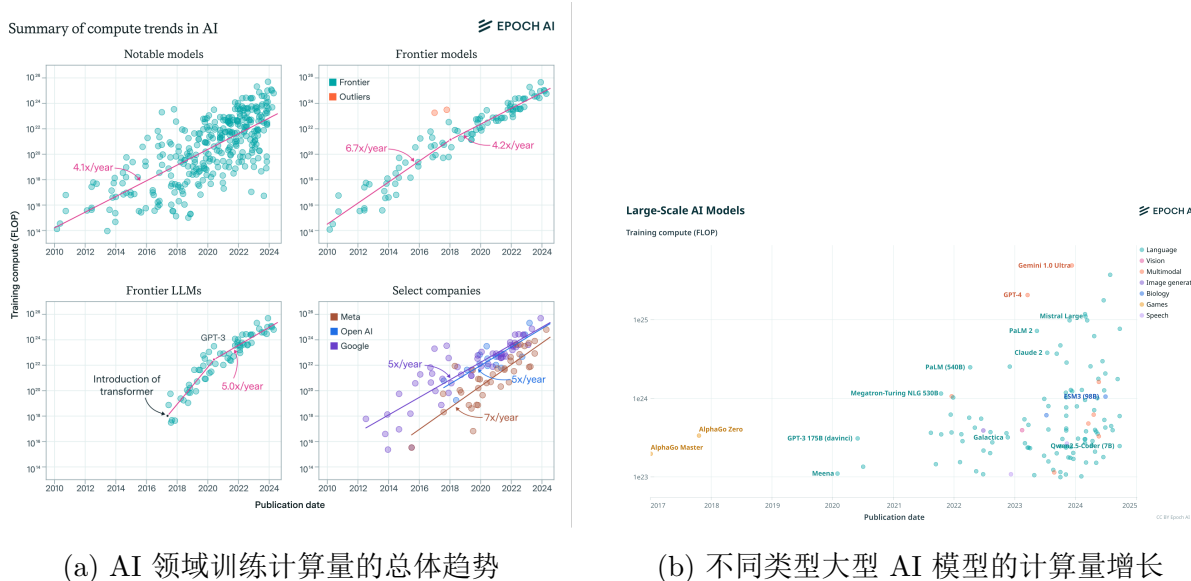
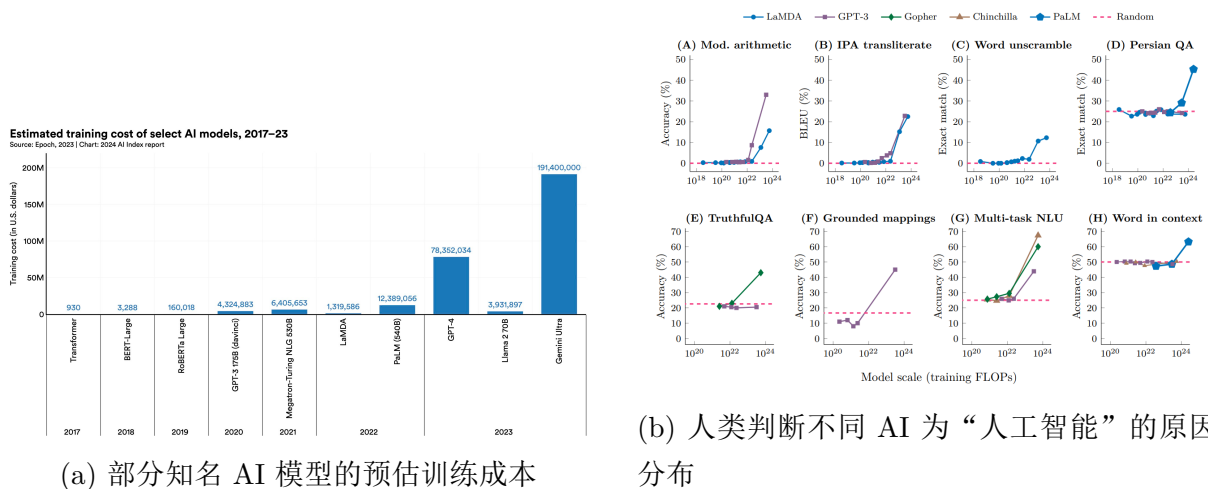


图 2.22: AI 模型训练计算量的指数级增长趋势

这种指数级的计算投入直接转化为高昂的训练成本。如图 2.23a 所示, 从早期的 Transformer 模型到最新的 Gemini Ultra, 训练成本已从数千美元飙升至接近两亿美元。同时, 模型的性能和行为也变得愈发复杂, 使得如何评估和理解它们成为新的研究课题。图 2.23b 则展示了人类对不同 AI(包括早期的 ELIZA 和现代的 LLMs)的识别原因分布, 反映出随着模型能力的增强, 其行为的“人性化”程度也在提高, 对“图灵测试”提出了新的挑战。



(a) 部分知名 AI 模型的预估训练成本

(b) 人类判断不同 AI 为“人工智能”的原因分布

图 2.23: 大型 AI 模型的训练成本与人类感知分析

3. 模型性能与置信度校准 随着模型规模的扩大, 其输出的准确性与自身的置信度 (Confidence) 之间的关系变得至关重要。一个“校准良好”的模型, 其预测的置信度应该能真实反映其预测的正确率。图 2.24 展示了不同 LLMs 在与人类的对比测试中的准确率与置信度的关系。理想情况下, 准确率应随置信度的增加而提高。这些图表揭示了不同模型在“自我认知”能力上的差异, 这是评估其可靠性和可信度的重要维度。

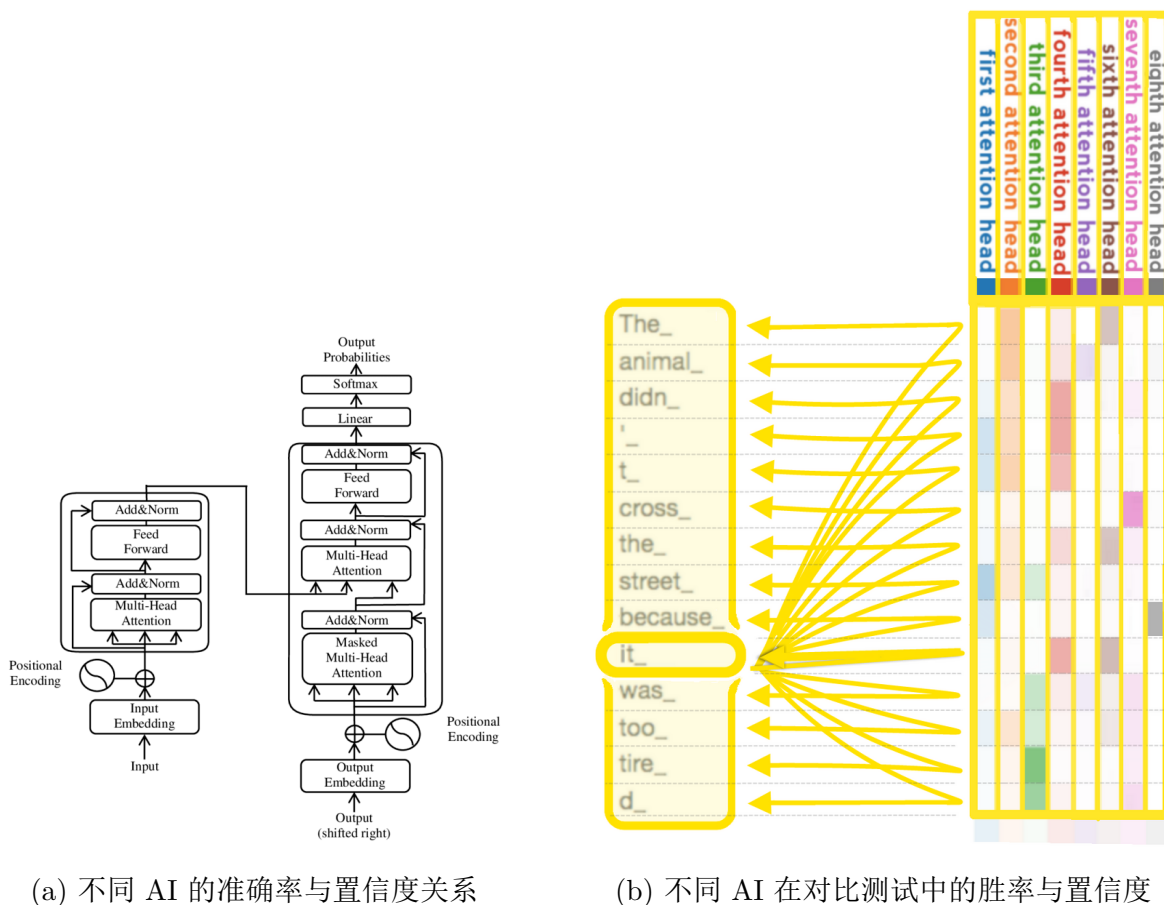


图 2.24: 大型语言模型的置信度校准与性能评估

2.6 其他新兴技术

除了上述主流技术外,一些新兴的技术方向也在不断拓展着人工智能的边界。

- **联邦学习 (Federated Learning):** 联邦学习是一种分布式的机器学习范式, 它允许在多个持有本地数据的设备 (如手机) 上协同训练一个模型, 而无需将原始数据集中上传到服务器。这在保护用户数据隐私和安全方面具有巨大优势, 特别适用于金融、医疗等对数据安全要求极高的领域。
- **边缘 AI (Edge AI):** 边缘 AI 指的是将 AI 模型的训练和推理过程直接在数据产生的源头——即边缘设备 (如智能摄像头、工业传感器和可穿戴设备) 上执行。这可以显著降低延迟、减少对网络带宽的依赖, 并增强数据的实时处理能力和隐私保护。
- **多模态 AI (Multimodal AI):** 多模态 AI 旨在让模型能够同时理解和处理来自不同模态的信息, 如文本、图像、语音和视频。通过融合多模态信息, 模型可以获得更丰富、更全面的上下文理解。

得对世界更全面、更深入的理解, 从而在诸如视频内容理解、图文生成和情感计算等任务中表现出更强的能力。

2.7 总结

本章详细阐述了驱动现代人工智能发展的各项关键技术。从监督学习、无监督学习到强化学习这三大经典机器学习范式, 为 AI 提供了基础的理论框架。深度学习的崛起, 特别是 CNN 在视觉领域的突破、RNN/LSTM 对序列数据的处理能力, 以及 Transformer 架构对自然语言处理的颠覆, 共同构成了现代 AI 技术的核心支柱。在此基础上, 生成式 AI(如 GANs 和扩散模型) 赋予了机器前所未有的创造力, 而大型语言模型的兴起则将 AI 的通用能力推向了新的高度。最后, 联邦学习、边缘 AI 和多模态 AI 等新兴技术, 正从隐私保护、部署效率和信息融合等多个维度, 进一步拓展着人工智能的未来版图。这些技术相互交织、共同演进, 正在深刻地重塑着科技和社会的面貌。

参考文献

- [1] CASAL-OTERO L, CATALA A, FERNÁNDEZ-MORANTE C, et al. AI literacy in K-12: a systematic literature review[J]. International Journal of STEM Education, 2023, 10(1): 29.
- [2] ZHAI X, CHU X, CHAI C S, et al. A Review of Artificial Intelligence (AI) in Education from 2010 to 2020[J]. Complexity, 2021, 2021(1): 8812542.
- [3] MAHESH B, et al. Machine learning algorithms-a review[J]. International Journal of Science and Research (IJSR).[Internet], 2020, 9(1): 381-386.
- [4] LECUN Y, BENGIO Y, HINTON G. Deep learning[J]. nature, 2015, 521(7553): 436-444.
- [5] GLIELMO A, HUSIC B E, RODRIGUEZ A, et al. Unsupervised learning methods for molecular simulation data[J]. Chemical Reviews, 2021, 121(16): 9722-9758.
- [6] MATSUO Y, LECUN Y, SAHANI M, et al. Deep learning, reinforcement learning, and world models[J]. Neural Networks, 2022, 152: 267-275.
- [7] AHMED S F, ALAM M S B, HASSAN M, et al. Deep learning modelling techniques: current progress, applications, advantages, and challenges[J]. Artificial Intelligence Review, 2023, 56(11): 13521-13617.
- [8] JUNG C G, HULL R. Concerning Mandala Symbolism 1[G]//Collected works of CG Jung. Routledge, 2023: v9i_357-v9i_386.
- [9] MAURER H. Cognitive science: Integrative synchronization mechanisms in cognitive neuroarchitectures of modern connectionism[M]. CRC Press, 2021.
- [10] SHEHADEH A, ALSHBOUL O, AL-SHBOUL K F, et al. An expert system for highway construction: Multi-objective optimization using enhanced particle swarm for optimal equipment management[J]. Expert Systems with Applications, 2024, 249: 123621.
- [11] XU L. Separable multi-innovation Newton iterative modeling algorithm for multi-frequency signals based on the sliding measurement window[J]. Circuits, Systems,

- and Signal Processing, 2022, 41(2): 805-830.
- [12] 周培诚, 程燦, 姚西文, 等. 高分辨率遥感影像解译中的机器学习范式[J]. 遥感学报, 2021, 25(1): 182-197.
- [13] RANI V, NABI S T, KUMAR M, et al. Self-supervised learning: A succinct review [J]. Archives of Computational Methods in Engineering, 2023, 30(4): 2761-2775.
- [14] NEUER M J. Unsupervised learning[G]//Machine Learning for Engineers: Introduction to Physics-Informed, Explainable Learning Methods for AI in Engineering Applications. Springer, 2024: 141-172.
- [15] SHAKYA A K, PILLAI G, CHAKRABARTY S. Reinforcement learning algorithms: A brief survey[J]. Expert Systems with Applications, 2023, 231: 120495.
- [16] HUSSAIN H, TAMIZHARASAN P, RAHUL C. Design possibilities and challenges of DNN models: a review on the perspective of end devices[J]. Artificial Intelligence Review, 2022: 1-59.
- [17] CROITORU F A, HONDRU V, IONESCU R T, et al. Diffusion models in vision: A survey[J]. IEEE Transactions on Pattern Analysis and Machine Intelligence, 2023, 45(9): 10850-10869.